



А. П. Захариков^а

^а Некоммерческое партнёрство
«Южархеология»,
ул. М. Горького, 95а, Ростов-на-Дону, Россия
[azaharikov@mail.ru]

^а Non-Commercial Partnership
«Yuzharcheologia»,
95a M. Gorky St., Rostov-upon-Don, Russia
[azaharikov@mail.ru]

Кварцитовые комплексы нижней пачки слоёв стоянки Непряхино (по материалам раскопок 2016 года)

Материал поступил 12.06.2020, доработан 13.02.2021, принят 21.04.2021

Резюме. В статье впервые подробно публикуются и анализируются материалы из нижней пачки слоёв стоянки Непряхино в Волго-Уральском междуречье, полученные в результате раскопок 2016 года. Все три рассматриваемых комплекса (К-1, К-2, К-3) относятся к кислородно-изотопной стадии 3. Для кварцитовых индустрий нижней пачки характерны такие черты, как непластинчатое, но преимущественно объёмное расщепление, краевая техника скола, обилие двусторонне обработанных изделий, их незавершённость (окончательная отделка происходила, вероятно, за пределами стоянки), крайняя редкость орудий на пластинах, обилие скрёбел, многочисленность скребков и изделий с резцовым сколом. По сумме характеристик индустриальные комплексы нижней пачки Непряхино вписываются в вариабельность раннего верхнего палеолита Евразии.

Ключевые слова: Заволжье, ранний верхний палеолит, стоянка Непряхино, бифасы, наконечники, пластинчатое расщепление.

Zakharikov A. P. Quartzite assemblages from the lower layers of the Nepryakhino site (based on the 2016 excavations).

The paper provides an in-detail description and analysis of lithic (quartzite) materials from the lower layer of the Nepryakhino site in the Volga-Ural interfluvium, obtained in 2016. The three assemblages under consideration (K-1, K-2 and K-3) date from OIS 3. Their quartzite industries are characterized by non-laminar but mostly volumetric cores, marginal flaking, high percentage of bifacially worked artifacts all of which are unfinished (which suggests that their final preparation took place off-site), extreme rarity of tools on blades, abundance of sidescrapers, rarity of endscrapers and tools with burin facets. All in all, the industries of the lower layers of Nepryakhino seem to fit into the variability of the Early Upper Paleolithic of Eurasia.

Keywords: Trans-Volga region, Early Upper Paleolithic, Nepryakhino site, bifaces, points, blade technology.

Введение

Для ранней поры верхнего палеолита (РВП) характерны сосуществование среднепалеолитических, собственно верхнепалеолитических и так называемых архаических или симбиотических индустрий (Степанчук 2011: 38) и культурная мозаичность, проявляющаяся в обилии своеобразных индустрий (Вишняцкий 2008: 181). Верхняя граница РВП во многом определяется возрастом самых поздних стоянок со среднепалеолитическими индустриальными комплексами.

Картину перехода от среднего палеолита к верхнему мы можем наблюдать на фоне весьма различной археологической исследованности отдельных регионов Евразии. Если, например, на Верхнем Дону или на Алтае известны десятки комплексов ранней поры верхнего палеолита, то для других территорий данные зачастую скудны. К таким регионам относится и обширная территория к востоку от Волги, включающая Прикаспийскую низменность и степи Западного Казахстана.

Материалы раскопок многослойной стоянки Непряхино в Саратовском Заповье позволяют отчасти заполнить эту лауну. Три нижних слоя стоянки относятся именно к ранней поре верхнего палеолита, и для их комплексов характерно сочетание среднепалеолитических и верхнепалеолитических элементов. Раскопки 2016 года позволили получить новые интересные данные именно по нижней пачке слоёв. Предварительные результаты полевых исследований стоянки Непряхино 2016 года отражены в обзорной публикации 2017 года (Захариков 2017б: 3–29). Настоящая статья специально посвящена материалам нижней пачки.

Общие сведения о стоянке

Стоянка Непряхино находится в Волго-Уральском междуречье (рис. 1), в Озинском районе Саратовской области. Раскопки открытого в 1989 году памятника проводились в течение трёх полевых сезонов в 1990-х годах и были возобновлены в 2016 году (Захариков 1993; 1999а; 1999б; 2008; 2017а; 2017б; 2018; 2019; Zakharikov 2002; 2017). Стоянка расположена на одном из отрогов/останцов Южного Общего Сырта, являющегося высоким правым бортом реки Большая Чалыкла. Останец сложен среднезернистыми кварцевыми песками, кверху сменяющимися сливными песчаниками — кварцитами (нижняя часть саратовской свиты палеогеновой системы), которые, в свою очередь, перекрыты пачкой четвертичных слоёв эолового происхождения мощностью до 3,5 м. Кварцит средне- и крупнозернистый серый, кварцевые зёрна связаны кварцевым или опаловым цементом, изотропность высокая, инородные включения редки.

Стратиграфия, выявленная в западной стенке раскопа 2016 года, характеризуется следующим образом (рис. 2):

1. Покровная почва — серо-чёрный гумус общей мощностью слоя от 12 до 30 см. Контакт с нижележащим слоем чёткий. Поверх покровной почвы залегает слой позднейших техногенных эоловых отложений, представленный кварцевым песком.
2. Светло-каштановый суглинок (осташковский горизонт) мощностью 50–55 см со светлыми вкраплениями карбонатов и небольших клиньев затёчного гумуса из покровной почвы.
3. Тонкая чёрно-серая прослойка — погребённая почва мощностью 2–2,5 см.

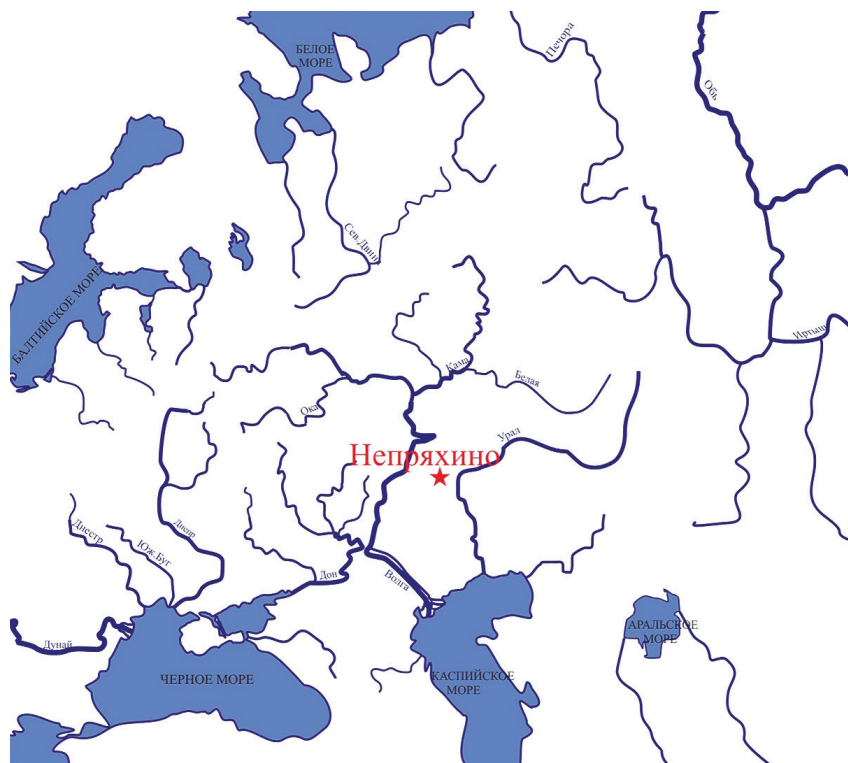


Рис. 1. Стоянка Непряхино. Местоположение на карте
Fig. 1. Map showing the location of the Nepryakhino site

4. Светло-каштановый суглинок мощностью 70–85 см. Переход к слою 5 нечёткий.
5. Светло-каштановый суглинок мощностью 15–30 см с редкими вкраплениями и линзами более тёмного гумусированного суглинка. Сильно насыщен обломочным материалом и продуктами расщепления. Обломки сцементированы с орудиями и отщепами минеральными солями в плотную брекчию. Контакт с нижележащим слоем нечёткий, наблюдаются деформации, сходные с криогенными. Слой залегает с небольшим уклоном в северном направлении.
6. Погребённая почва (молого-шекснинская) чернозёмного типа мощностью от 20 до 45 см, сильно насыщена гумусом чёрно-каштанового цвета. Нижняя граница слоя неровная, иногда разбивающаяся на отдельные локальные прослои. Много вкраплений минеральных солей, особенно в верхней части слоя, в северной и южной части разреза. Мерзлотные клинья местами насквозь пронизывают погребённую почву, проникая в нижележащий слой. В кв. 2–4 отчётливо фиксируется линза углисто-золистого заполнения кострища мощностью до 26 см.
7. Палевая супесь с неоднородной структурой слоя. Встречаются довольно многочисленные локальные прослои. В юго-западном углу раскопа

Кварцитовые комплексы нижней пачки слоёв стоянки Непряхино

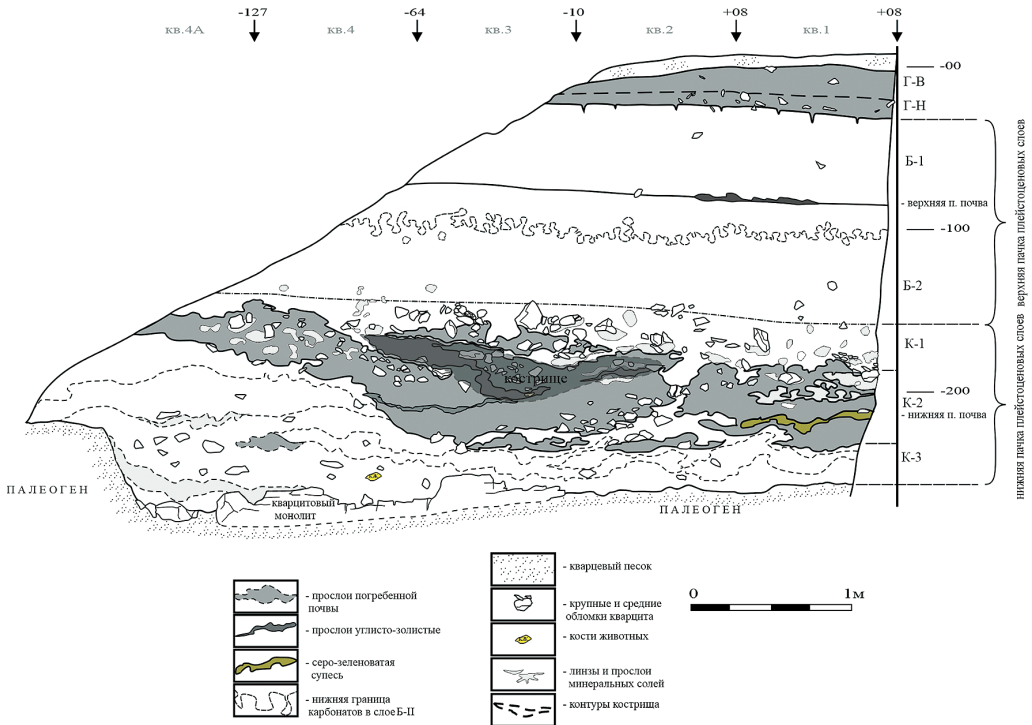


Рис. 2. Стоянка Непряхино. Раскоп 2016 г., западная стенка
 Fig. 2. Nepryakhino. Excavation of 2016, western wall

в верхней части слоя зафиксирован мощный (до 30 см) и протяжённый (до 220 см) прослой светло-серой с чуть зеленоватым оттенком супеси, по нижней границе которого фиксировалась небольшая неровная прослойка рыжеватой ожелезнённой супеси мощностью до 5–7 см. В северо-западной части раскопа верхняя часть слоя 7 включает прослой гумуса мощностью до 20 см, среди которых в кв. 3 и частично 4 отмечена тонкая (от 2 до 4 см по вертикали) неровная линза мелких отщепов и чешуек. В средней части слоя вдоль всей западной стенки зафиксирован неровный мощностью от 5 до 20 см прослой светло-палевой желтоватой лёгкой супеси с мелким обломочным материалом. В нижней части слоя в юго-западной части раскопа отмечен прослой (мощность 5–15 см) светло-серого с ржавым оттенком ожелезнённого песка и многочисленных обломков кварцита. Мощность слоя варьирует от 25–30 см в кв. 3, где слой зажат между понижением вышележащей погребённой почвы и выпирающими вверх блоками кварцитового монолита в кровле палеогеновых отложений, до 90 см в юго-западной части раскопа.

8. Кварцевый песок палеогенового возраста. Остатки бронирующей его кровлю плиты зафиксированы в виде растрескавшегося монолита в юго-западной части раскопа.

Покровная почва (слой 1) содержит материалы периода неолита/энеолита. Слои 2–4, образующие верхнюю пачку плейстоценовых отложений, сформировавшуюся в основном в период последнего ледникового максимума, дали пластинчатые кварцитовые комплексы средней поры верхнего палеолита с невыразительным орудийным набором. Слои 5–7, представляющие нижнюю пачку плейстоценовых отложений, содержат многотысячные комплексы кварцитовых изделий, включающих нуклеусы, сколы и разнообразные орудия. Литологический слой 5 соответствует культурному слою К-1, литологический слой 6 — культурному слою К-2, а литологический слой 7 — культурному слою К-3.

Общая характеристика нижней пачки слоёв

Слой К-1 чрезвычайно насыщен продуктами расщепления и обломочным материалом, чем разительно отличается от вышележащих суглинков. Вмещающие отложения богаты минеральными солями. Местами, при плотном залегании кварцитов, они сцеплены минеральными солями в плотную брекчию. При общей мощности слоя 15–30 см расчистка производилась шестью условными горизонтами. Многие предметы покрыты патиной (иногда интенсивной), особенно в верхней части слоя. Молочно-белая патина всегда покрывает поверхности предметов, обращённые вверх. Часть кварцитов подверглась температурной десквамации, особенно заметной на крупных изделиях.

Мощность нижней погребённой почвы, соответствующей слою К-2, варьирует на разных участках раскопа в пределах 20–45 см. Верхняя часть слоя содержит значительно больше обломочного материала, чем нижняя его часть. Для слоя К-2 к 2012 году были получены радиоуглеродные даты $32\,810 \pm 450$ лет назад (Beta-217473) и $36\,060 \pm 350$ лет назад (Beta-244075). В верхней части слоя исследовано кострище. Оно имело неправильно овальную в плане форму и в поперечнике достигало 180 см. В профиль кострище представляло собой вогнутую линзу мощностью до 30 см в центральной части. В придонной части сохранились участки прокала. Структурно кострище выделялось углисто-золистым заполнением заметно более тёмного цвета, нежели окружающая погребённая почва. В заполнении отчетливо фиксировались плотные прослои мелких отщепов и другого дебритажа, которые определённо могут рассматриваться как отдельные эпизоды производственной деятельности — расщепления кварцита. По почве из кострища в 2017 году была получена радиоуглеродная дата $40\,620 \pm 270$ лет назад (IAAA-170765) (Каномата 2017: 12–14).

Слой К-3 в раскопе 2016 года отличался не только большой мощностью (от 40 до 90 см в кв. 4 и 5), но и сложностью и неоднородностью своей структуры. При раскопках в 1990-е годы этому слою было уделено недостаточное внимание, и поэтому в 2016 году было решено вскрывать его наиболее тщательно и максимально возможным количеством горизонтов. В верхах слоя К-3, в юго-западной части раскопа были исследованы две линзы мощностью 4–7 см, плотно забитые мелкими продуктами раскалывания. Размеры линз 95×60 см и 90×50 см. Первая содержала 433 небольших отщепа и 13 чешуек, вторая — 533 кварцитовых артефакта, включая, помимо мелких отщепов и чешуек, несколько орудий, в том числе три бифаса.

Характер вмещающих отложений свидетельствует об относительно быстром накоплении эоловых по своему генезису слоёв нижней пачки. Формирование

слоя К-3 происходило на фоне особенно интенсивной разработки палеолитическим человеком кварцитовой плиты. Локальные линзы и прослои супесей с обломочным материалом в основном теле слоя являются, вероятно, выкидами при землекопных работах. На момент начала процесса почвообразования (нижняя погребённая почва — слой К-2) интенсивность разработки кварцитовой плиты на данном участке стоянки заметно снизилась, а в дальнейшем прекратилась вовсе. Слой К-1 формировался при замедленных процессах осадконакопления и высокой интенсивности расщепления камня обитателями стоянки.

В слое К-3 обнаружено 28 костей животных, для нескольких из них палеозоологом В. В. Титовым определена видовая принадлежность. Установлено присутствие останков бизона *Bison cf. priscus* (два фрагмента плечевой кости и два ребра), мамонта *Mammuthus cf. primigenius* (два ребра) и птицы, предположительно идентифицированной как красноносый нырок *Netta rufina*. Для слоя К-2 по нескольким фрагментам, найденным в кострище, определён зуб молодого бизона (*Bison sp.*).

Характеристика кварцитовых комплексов из нижней пачки слоёв

Слой К-1. В коллекции 2282 предмета, очень высок процент формальных орудий — до 15% (см. табл. 1).

В группе нуклевидных (рис. 3), включающей 55 предметов, собственно нуклеусы составляют менее половины, из них семь призматических. Некоторые несут на себе негативы пластинчатых снятий и имеют оформленные оббивкой продольные рёбра (рис. 4: 3), как на многочисленных преформах призматических нуклеусов. Ударные площадки на этих нуклеусах и их преформах обычно расположены под острым углом к фронту (рис. 4: 1, 3; 5: 1). Преформ призматических нуклеусов 14 (рис. 4: 2).



Рис. 3. Стоянка Непряхино, слой К-1. Соотношение разных типов нуклеусов в коллекции 2016 г.

Fig. 3. Neryakhino, layer K-1, 2016 collection. Pie chart showing the proportion of different types of cores

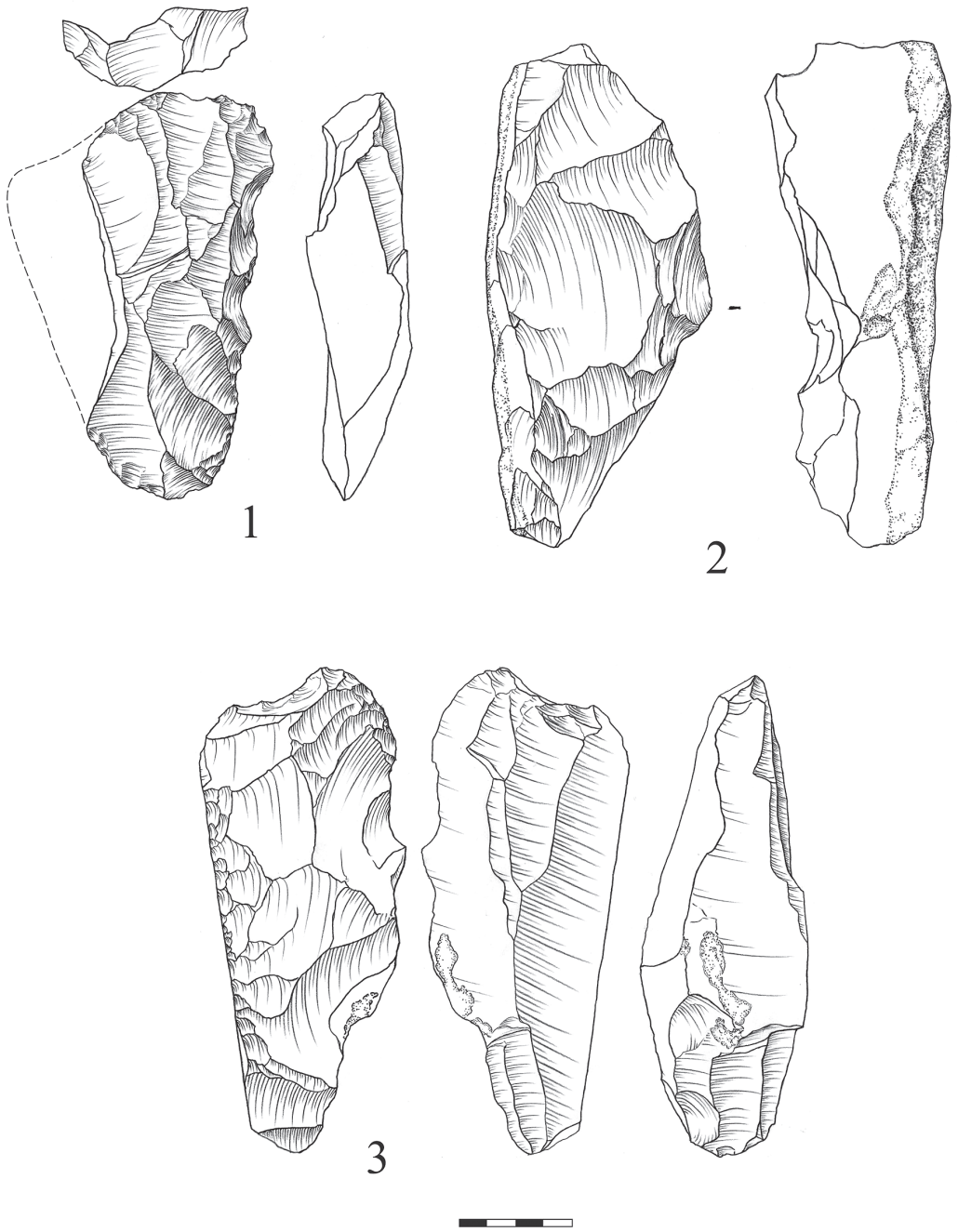


Рис. 4. Стоянка Непряхино, слой К-1, коллекция 2016 г. Нуклеусы и их преформы
Fig. 4. Npryakhino, layer K-1, 2016 collection. Cores and core preforms

К ядрищам плоскостного принципа скалывания относятся два одноплощадочных параллельных и четыре конвергентных. И те и другие характерны для среднепалеолитической техники получения сколов-заготовок. К нуклеусам верхнепалеолитической группы (рис. 3) относятся семь призматических одноплощадочных ядрищ объёмного и полубъёмного скалывания. Затруднительно определить как верхнепалеолитические либо среднепалеолитические шесть грубых, начальных и прочих ядрищ с невыраженной системой скалывания. То же относится и к трём протопризматическим нуклеусам. Учитывая присутствие в комплексе слоя многочисленных (14 экз.) преформ призматических ядрищ в разной степени завершённости, можно сделать вывод о преобладании верхнепалеолитической технологии подготовки и расщепления нуклеусов.

Интересна преформа призматического ядрища (рис. 5: 1), имеющая подтреугольную форму и два продольных ребра. Одна сторона преформы оббита полностью, другая частично — это типичная бифасиальная преформа призматического нуклеуса. Несколькими крупными сколами намечена ударная площадка. Рядом найдены два отщепы оформления этой преформы, которые к ней апплицируются (рис. 5: 2, 3). Один скол пластинчатый с неконическим началом (рис. 5: 2), другой трапециевидный с массивным корпусом и слабоизогнутым профилем (рис. 5: 3), вполне соответствует общим стандартам бифасиального дебитаж. Оба скола имеют губу (lip) между вентральной поверхностью и заметно скошенной площадкой. Удар, по-видимому, мягким отбойником нанёсся по площадке, а не в ребро.

Среди сколов без вторичной обработки (1565 шт.) абсолютное большинство составляют отщепы, пластин всего 2,5%. Технические сколы, представленные 21 экз. (рис. 5: 4–7), связаны с расщеплением призматических нуклеусов. Абсолютное преобладание ребёрчатых сколов (17 экз.) над сколами радикальной подправки площадки — таблетками (3 экз.) и сколами боковой подправки фронта (1 экз.) не вызывает удивления, поскольку снятие ребёрчатых сколов происходило в начале расщепления. В контексте комплекса (большое количество преформ призматических нуклеусов и малая доля пластин среди сколов) снятие ребёрчатого скола являлось фактически пробным/оценочным скалыванием со свежеизготовленного нуклеуса. Опробованные качественные ядрища, по-видимому, обычно уносились. Скалывание с готовых нуклеусов пластин (и, соответственно, подправка ядрищ) на месте происходило реже.

По материалам раскопа 2016 года был детально проанализирован весь дебитаж из слоев К-3 и К-2 и выборка дебитаж из слоя К-1. Учитывались размеры сколов, форма в плане, форма в профиль, огранка спинки, форма, размеры и характер обработки ударной площадки, тип проксимального конца (наличие губы или козырька между вентральной плоскостью и ударной площадкой и выраженность ударного бугорка), степень скошенности ударной площадки, наличие и характер редукции площадки.

Особенно важными перед началом анализа дебитаж представлялись следующие вопросы: каким количеством и какими сколами представлен в коллекции процесс подготовки и расщепления нуклеусов для пластин; какое место в коллекции, учитывая большой удельный вес в орудийном наборе бифасов, занимает группа сколов оформления и уточнения бифасов, насколько они разнообразны морфологически и отражает ли их разнообразие (если таковое обнаружится) различные этапы в технологии изготовления двусторонних орудий, прежде всего, наконечников. Соответственно, статистико-морфологический

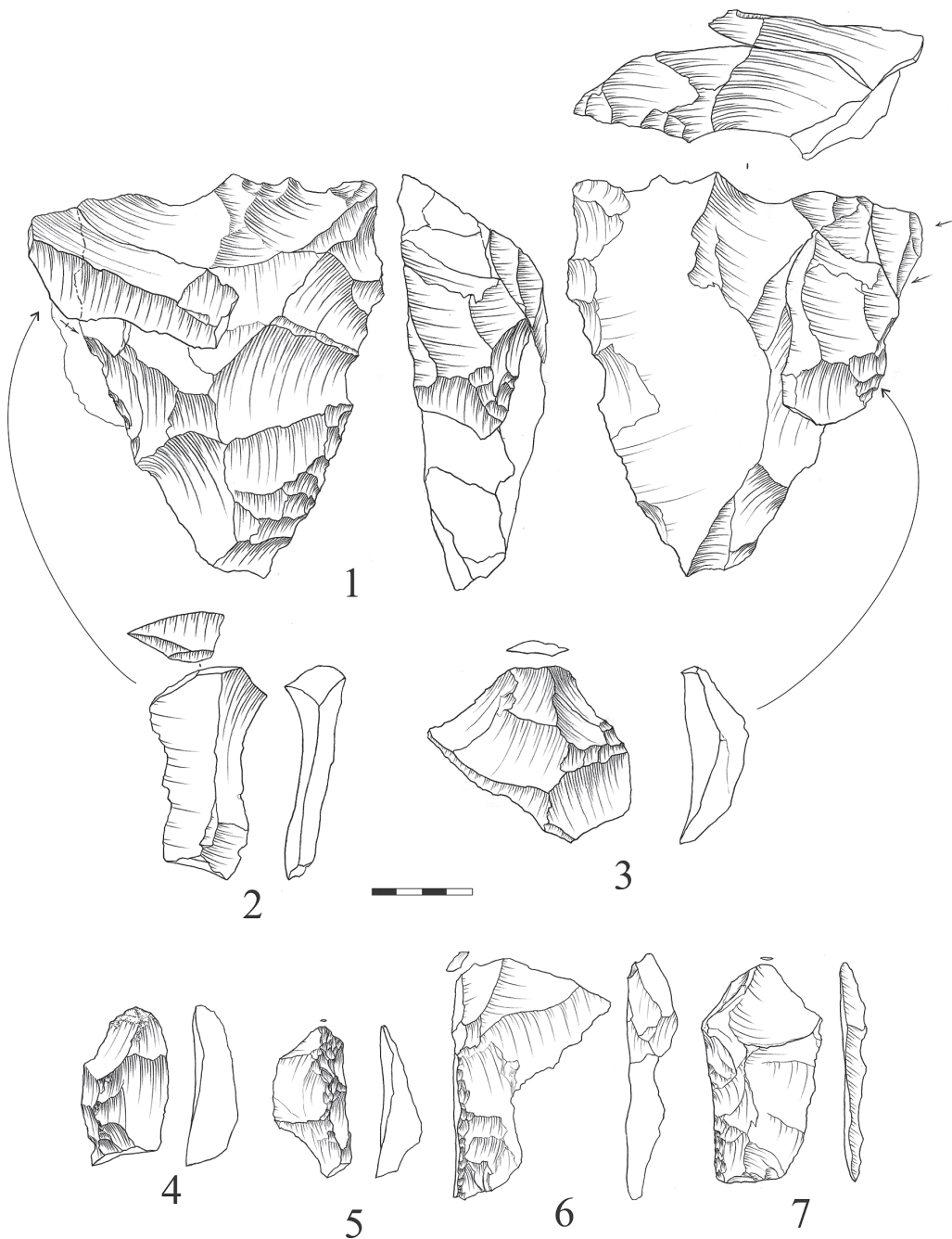


Рис. 5. Стоянка Непряхино, слой К-1, коллекция 2016 г. Нуклеус и сколы
Fig. 5. Neryakhino, layer K-1, 2016 collection. Core and flakes

анализ сколов проводился как для всего дебитажа, так и по группам — «сколы обработки бифасов» и «ординарные (прочие) сколы».

Сколы обработки бифасов определялись по совокупности морфологических признаков, описанных в литературе (Newcomer 1971; Матюхин 1983: 163–165; Bradley, Sampson 1986; Bradley et al. 1995; Демиденко 2003: 132–154; Захариков 2018: 67) и имеющихся на сколах, апплицирующихся к бифасам в коллекции Непряхино (см. рис. 12: 5). Это относительно тонкие и широкие сколы, обычно трапециевидной (дивергентной) в плане формы с узкими скошенными ударными площадками с губой между брюшком и площадкой отщепа.

Сколы, связанные с фабрикацией, расщеплением и подправкой призматических нуклеусов, составляют 4 % от всех сколов слоя К-1, и это в 2–3 раза больше, чем аналогичный показатель для нижележащих слоёв. Таким образом, процесс получения стандартных пластин в коллекции данного слоя представлен лучше, нежели в других слоях нижней пачки. Среди пластин, которые могут считаться целевыми и имеют сохранившийся проксимальный конец, у 30 % площадки вогнутые, линейные или точечные, а в 18 % случаев отмечена разной степени интенсивности редукция площадок. Для всех пластин характерна губа и скошенный угол между площадкой и вентральной плоскостью. Таким образом, краевая техника скола, характерная для верхнего палеолита (см.: Нехорошев 1999: 14–17), проявляется в морфологии пластин отчётливо. Точечные ударные площадки имеют и некоторые ребёрчатые сколы (рис. 5: 5, 7).

Сколы бифасиального дебитажа (рис. 6: 5–7) составляют в коллекции слоя К-1 63 %. Большинство их (81 %) имеет трапециевидную в плане форму. Для ординарных сколов обычна как трапециевидная (рис. 6: 6, 7), так и прямоугольная форма. И для сколов, снятых с бифасов, и для прочих наиболее характерна параллельная (33 и 20 %, соответственно) и конвергентная (24 %) огранка. Очень высок показатель скошенности¹ ударных площадок сколов: 60 % у ординарных сколов и 95 % у сколов, снятых с бифасов.

Ударные площадки сколов бифасиального дебитажа: гладкие прямые — 31 %, вогнутые, точечные и линейные (рис. 6, 6) — 43 %. У ординарных сколов площадки преимущественно двугранные (32 %) и гладкие прямые (28 %). Редуцированные площадки отмечены у 48 % сколов обработки бифасов. Наличие губы зафиксировано у 98 % сколов, снятых с бифасов. Таким образом, использование мягкого отбойника² и краевой техники скола при фабрикации бифасов было преобладающим.

В коллекции кварцитовых артефактов нижней пачки слоёв раскопа 2016 года в 14 случаях сколы апплицировались к орудиям, преформам нуклеусов или между собой. Четыре такие сборки относятся к слою К-1. Одна (рис. 5: 1–3) описана выше, две другие, вероятно, связаны с изготовлением бифасов.

¹ Как скошенность определялись площадки, чей угол относительно продольной оси составлял менее 70°, к сильно скошенным отнесены площадки с углом 40–55°.

² В раскопах 1990-х годов в слоях нижней пачки были найдены шесть кварцитовых отбойников. Более 100 экспериментов по расщеплению кварцита Непряхинского месторождения с использованием кварцитовых и роговых отбойников позволили сделать следующие наблюдения: при использовании кварцитового отбойника и некраевой техники скола губа между брюшком скола и его площадкой образуется редко, а если и образуется, то она выражена слабо; напротив, при использовании рогового отбойника и краевой техники скола губа образуется на большинстве сколов и она более выражена.

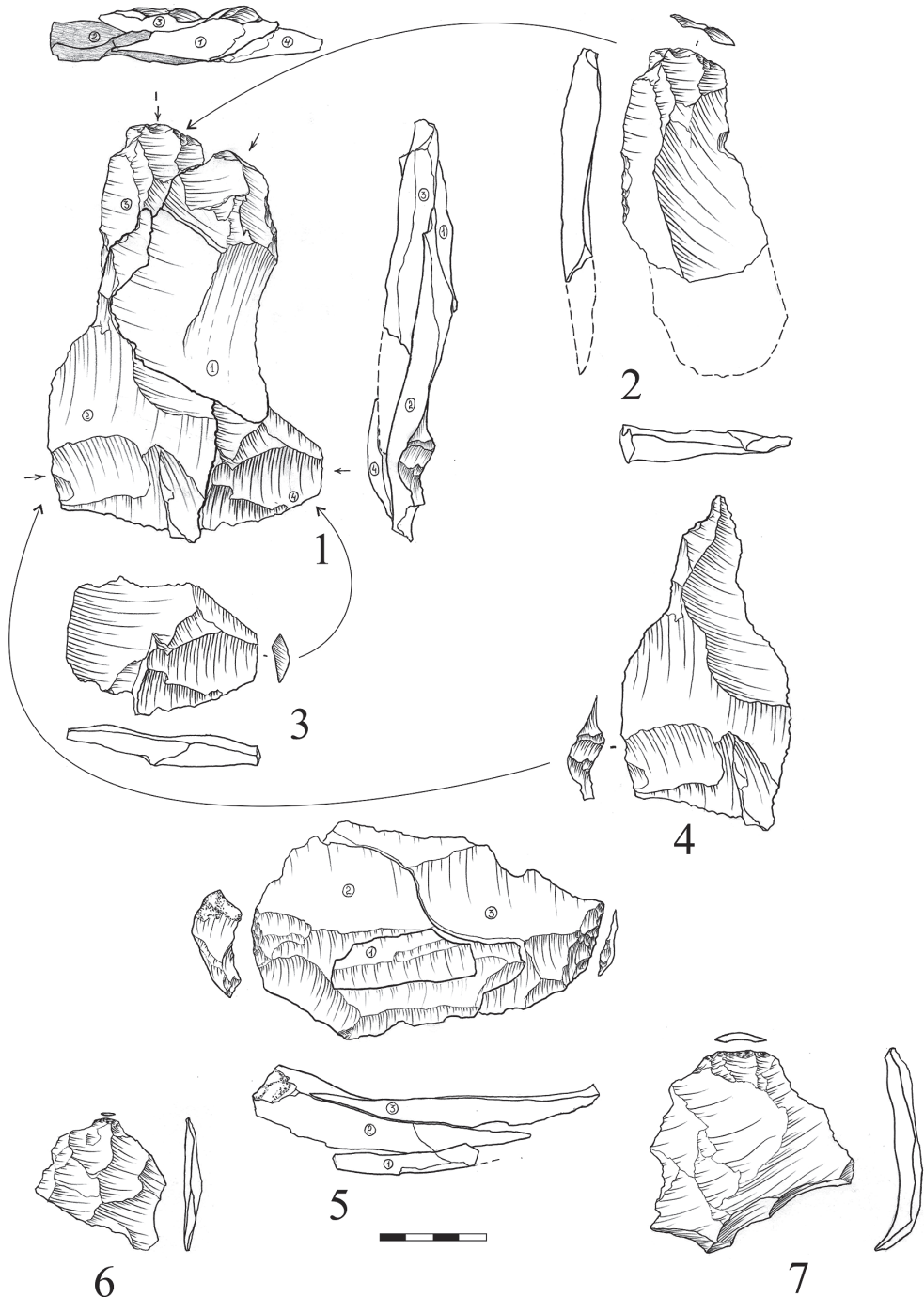


Рис. 6. Стоянка Непряхино, слой К-1, коллекция 2016 г. Сколы
Fig. 6. Nepryakhino, layer K-1, 2016 collection. Flakes

Сборка из двух отщепов и одного медиального сечения пластины (рис. 6: 5) иллюстрирует оббивку и утончение одной из сторон бифаса встречными сколами. Отщепы широкие, имеют прямой профиль, параллельную огранку спинки, а снятые позже — редуцированную, очень узкую площадку, выраженную губу и отчётливые признаки удара в ребро. Медиальное сечение пластины в бифасиальном дебитаже лишний раз свидетельствует о том, что, несмотря на разные цели, которые преследовал мастер при получении пластин с нуклеуса и утончении корпуса бифасиального орудия, сколы могли получаться сходными по общей морфологии.

Сборка из четырёх отщепов (рис. 6: 1–4) из нижней части слоя К-1 может быть связана как с процедурой общего оформления бифаса с элементами ядрищного утончения, так и с процессом оформления фронта призматического нуклеуса и его пробным расщеплением и подправкой (подобный нуклеус см. на рис. 4: 1). Все сколы имеют тонкий корпус и прямой профиль, три из четырёх — подперекрёстную огранку спинки, что нехарактерно для сколов нижней пачки Непряхино, а четвёртый — параллельную огранку спинки, редуцированную очень узкую площадку и пластинчатые пропорции. Все сколы имеют губу, но явные признаки удара в ребро есть только на пластинчатом сколе, снятом последним (рис. 6: 2).

Формальных орудий — 358 (рис. 7), почти половину из этого числа составляют ретушированные сколы — 166. Бифасов 57 (рис. 8), среди них шесть бифасиальных наконечников различного качества, копьевидных форм 12 (из них семь сломаны, очевидно, при изготовлении), а преобладают грубые и частичные — 35 экземпляров, некоторые из которых могут быть интерпретированы и как бифасиальные преформы нуклеусов, и как землекопные макроорудия. Количество макроорудий довольно велико — 22 предмета.

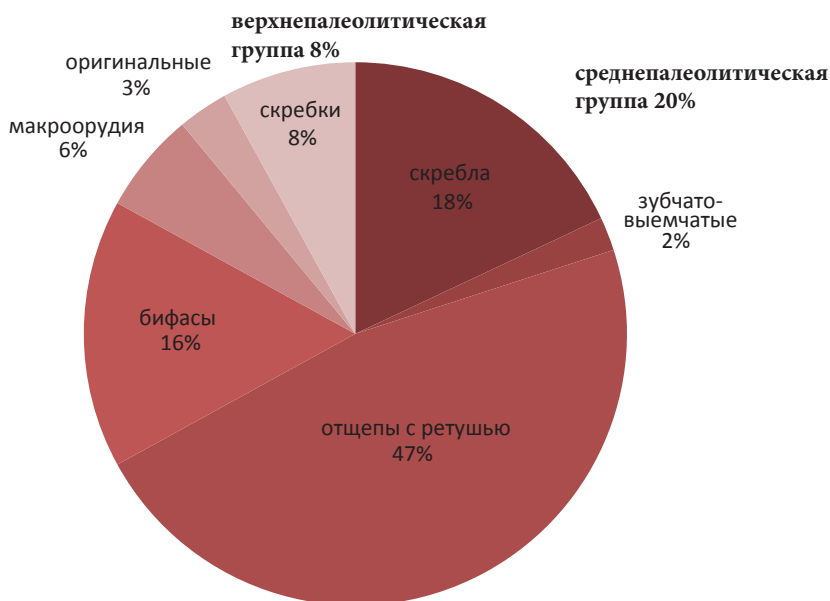


Рис. 7. Стоянка Непряхино, слой К-1. Соотношение разных групп орудий в коллекции 2016 г.

Fig. 7. Nepryakhino, layer K-1, 2016 collection. Pie chart showing the proportion of different groups of tools

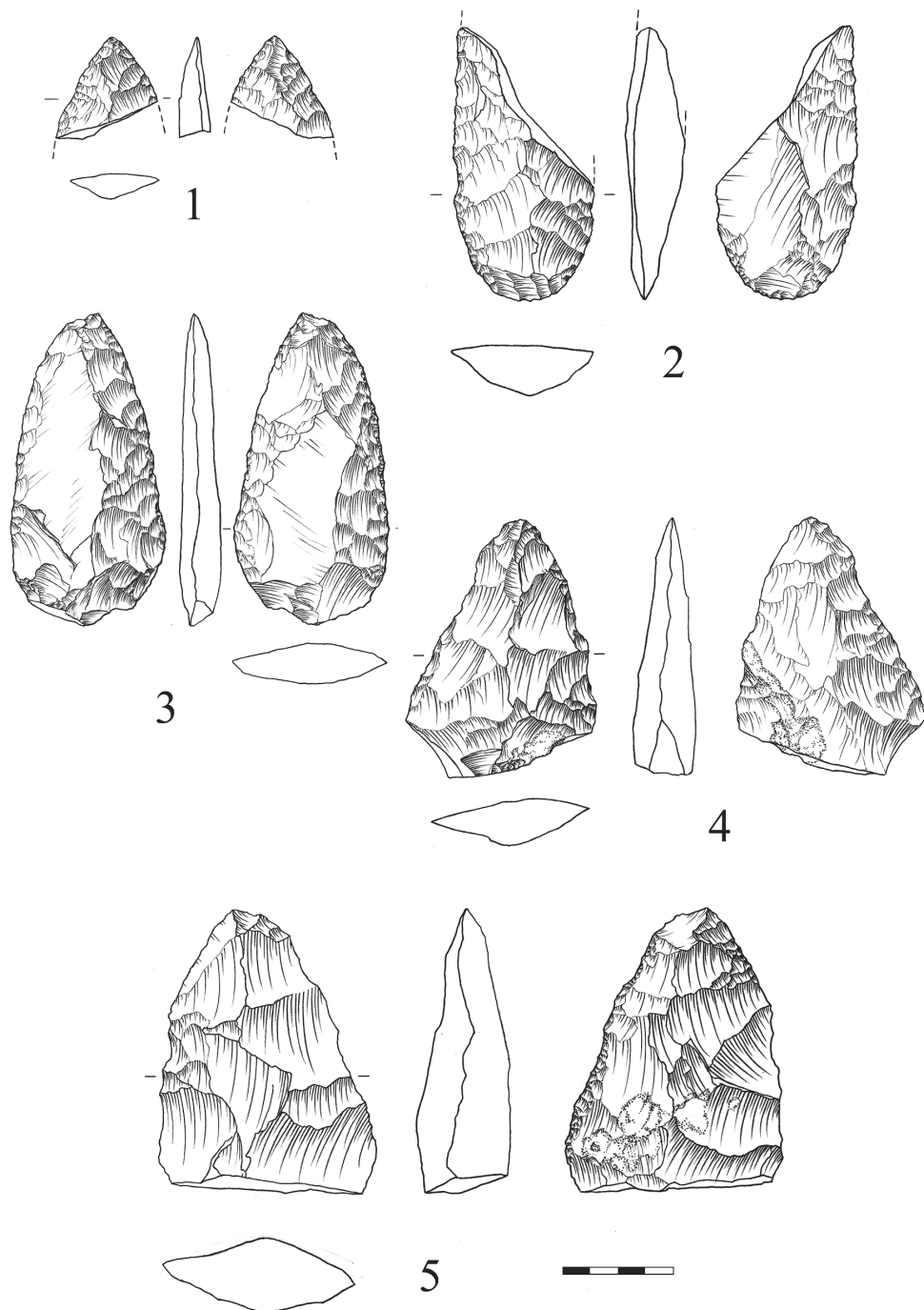


Рис. 8. Стоянка Неряхино, слой К-1, коллекция 2016 г. Бифасы
Fig. 8. Neryakhino, layer K-1, 2016 collection. Bifaces

Среди наконечников выделяется листовидно-подтреугольный бифасиальный наконечник (рис. 8: 3). Он имеет двояковыпуклое сечение, симметричную форму, изготовлен из плитки и обработка, соответственно, частично бифасиальная. Соотношение ширина/толщина — 4.

Скрёбел 64, они представлены преимущественно продольными — 35 экз. (рис. 9: 3, 4), конвергентными — 15 экз. (рис. 9: 1) и угловатыми (рис. 9: 6, 7). Разнообразных скребков 29 (рис. 9: 8, 9). Группа зубчато-выемчатых — девять предметов (рис. 9: 10). В группе оригинальных единичных изделий интересен «нож с обушком» на пластинчатом отщепе (рис. 9: 2).

Для слоя К-1, так же как и для нижней пачки слоёв в целом, нехарактерны орудия на пластинчатых заготовках. В качестве заготовок для орудий обычно выбирались непластинчатые сколы или плитки/куски. Орудия среднепалеолитической группы (скрёбла, зубчато-выемчатые) составляют 20% от всего орудийного набора, а верхнепалеолитической группы (скребки) — 8% (рис. 7).

Слой К-2. Общее количество кварцитовых предметов в коллекции — 3438 (см. табл. 1), из них 2652 — находки в кострище. Ниже характеристика комплекса кострища и слоя К-2 за пределами кострища даются отдельно.

1) Находки в кострище.

Большинство продуктов расщепления в кострище составляют необработанные сколы (2060 предметов, 78%). Много чешуек (520 экз.), почти все они с выразительной морфологией и, очевидно, связаны с изготовлением бифасов (рис. 11: 14). Макроотщепы, макроорудия и нуклеусы в кострище отсутствуют.

Ребёрчатых сколов четыре (рис. 11: 9, 10). Пластины (рис. 11: 7, 8, 12, 13) составляют менее 1% от всего количества сколов.

Интересны три апплицирующихся скола (рис. 11: 6): крупный отщеп с интенсивной редуцией, проксимальная часть небольшого пластинчатого скола и дистальная часть, по-видимому, пластинчатого отщепа.

Орудийный комплекс небольшой (53 формальных орудия, т. е. 2% от общего количества находок), но весьма выразительный (рис. 10). Около половины составляют отщепы с ретушью.

Скрёбла (рис. 11: 1, 4) разнообразны и включают одно продольное, три диагональных, скребло высокой формы, лимас. Редкая форма — оригинальный ретушированный остроконечник. Скребки (рис. 11: 2, 3, 5) разнотипны.

Бифасы (10 предметов) составляют 19% в орудийном наборе, многие сломаны (рис. 12: 2, 4, 5), три отнесены к копьевидным, т. е. к незаконченным/неудавшимся бифасиальным наконечникам. К одному из таких бифасов (рис. 12: 5) подобрались два скола оббивки, снятых с противоположных боковых краёв. Оба слегка заходят за продольную ось изделия и накладываются дистальными концами друг на друга. По всем морфологическим признакам это классические сколы оформления/уточнения бифасов. Оба имеют дивергентную в плане форму, подпараллельную огранку спинки и редуцированные, заметно скошенные площадки (у одного линейная, у другого очень узкая, почти линейная) с губой. Профиль у одного прямой, у другого слабоизогнутый, оба, очевидно, сколоты ударом «в ребро».

Интересны несколько небольших бифасиальных изделий сходной общей морфологии (рис. 12: 1, 3). Два из них, имеющие подлистовидную в плане форму, малые (9 и 10 см в длину) размеры, относительно большую толщину (отношение ширины к толщине 1,4 и 1,9), забитые неумелыми ударами боковые края, являются, очевидно, «ученическими» изделиями. Всего в комплексах нижней пачки выявлены 22 бифасиальных изделия, которые можно считать «ученическими» (Захариков 2020).

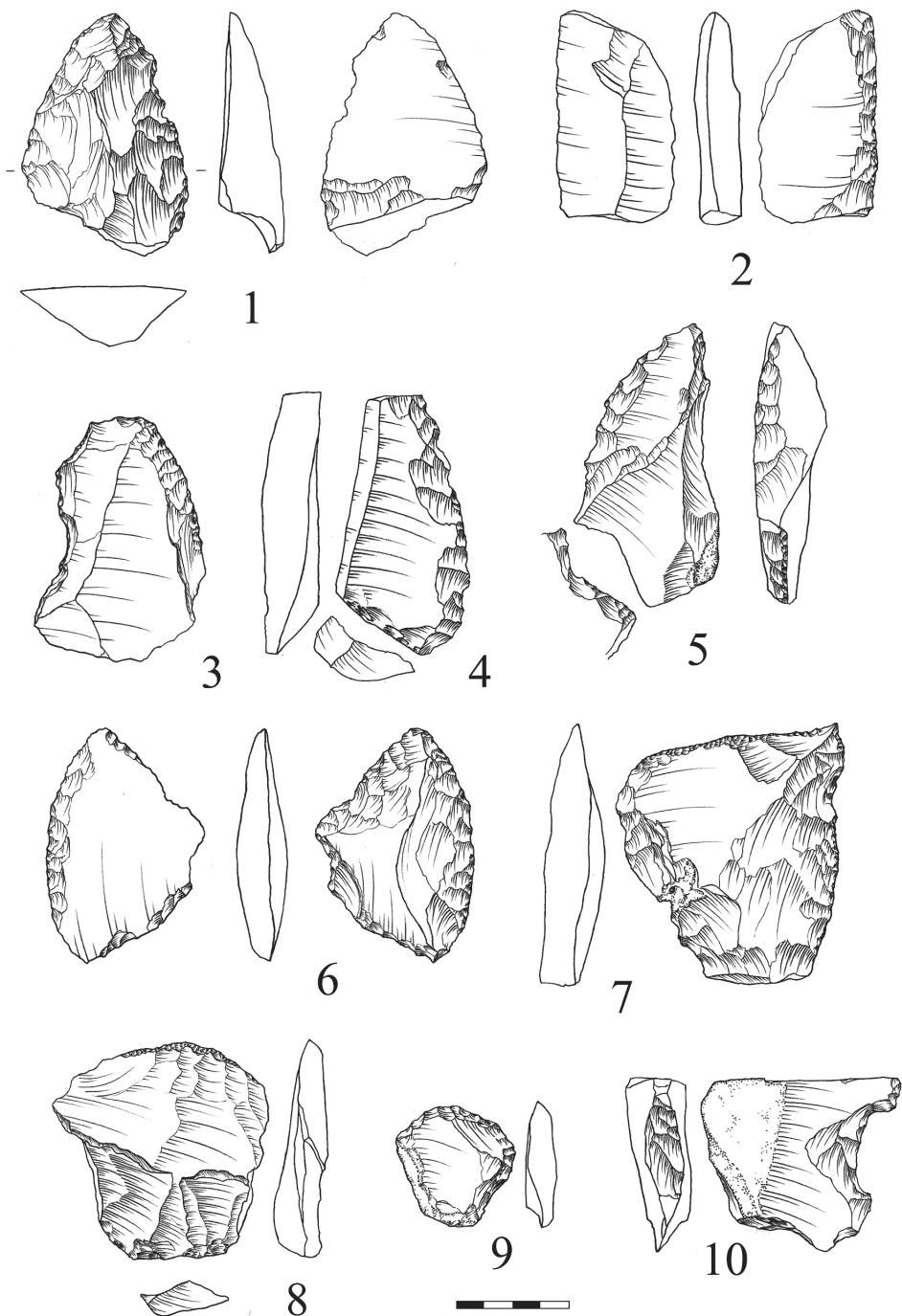


Рис. 9. Стоянка Непряхино, слой К-1, коллекция 2016 г. Орудия
Fig. 9. Nepryakhino, layer K-1, 2016 collection. Tools

Таблица 1. Кварцитовые комплексы слоев К-1, К-2 и К-3

Группы	Типы	К-1	К-2	К-3	Всего	%	
Куски, обломки, осколки	-----	32	21	17	70	0,6	
Нуклеусы	Призматические	7		1	8	0,6	
	Протопризматические	3			3		
	Параллельные	2		2	4		
	Конвергентные	4		1	5		
	Грубые и начальные	4		2	6		
	Прочие	2			2		
	Преформы	14	3	4	21		
Прочие нуклеидные	19	3	1	23			
Технические сколы	Ребёрчатые, полуребёрчатые	17	6	15	38	0,4	
	«Таблетки»	3	1		4		
	Прочие	1		2	3		
Отщепы	Пластинчатые	27	8	19	54	82	
	Непластинчатые	1462	2751	4486	8699		
	Макроотщепы	19	8	8	35		
Пластины	Целые	4	4	15	23	0,8	
	Медиальные фрагменты	17	5	9	31		
	Дистальные фрагменты	3	1	1	5		
	Проксимальные фрагменты	14	6	8	28		
Чешуйки	-----	270	533	244	1047	10	
Бифасы и частичные бифасы	Наконечники	6		3	9	1,4 (24*)	
	Копьевидные	12	7	10	29		
	Грубые	5	3	13	21		
	Частичные	30	7	18	55		
	Прочие	4	3	1	8		
Макроорудия	-----	22		6	28	0,1 (4,5*)	
Скрёбла	Продольные (ординарные)	35	2	12	49	1,0 (17*)	
	Диагональные	2	3	2	7		
	Поперечные	3	1	3	7		
	Двойные	4		2	6		
	Угловатые	4	1	1	6		
	Конвергентные	15	5	3	23		
	С ретушью по периметру	1			1		
Скребки	Типичные	23	Концевые	3	2	28	0,4 (7,4*)
	Боковые и двойные		4		6		
	Атипичные	2	3	7	12		
Отщепы с ретушью или оббивкой	С оббивкой	Регулярная	8	10	3	21	2,4 (42*)
		Нерегулярная	31	5	6	42	
	С ретушью	Регулярная	82	21	30	133	
		Нерегулярная	45	6	8	59	
Зубчато-выемчатые	Зубчатые	4			4	0,1 (2*)	
	Выемчатые	7	1	1	9		
Разные	-----	9	7**	11	27	0,2 (4*)	
Всего		2282	3438	4979	10699	100	

Примечания: * — процент от всех формальных орудий; ** — в том числе остроконечник и отщеп с резцовым сколом.



Рис. 10. Стоянка Непряхино, слой К-2. Соотношение разных типов орудий в коллекции 2016 г.
 Fig. 10. Nepryakhino, layer K-2, 2016 collection. Pie chart showing the proportion of different groups of tools

2) Находки за пределами кострища.

В группе нуклеидных всего три предмета, из них две преформы призматических нуклеусов и один истощённый одноплощадочный плоскостной нуклеус.

Сколов без вторичной обработки 730. Они относительно крупные, средний размер в поперечнике 57 мм. Сколы бифасиального дебитажера составляют 70%. Преобладающая форма сколов в плане трапецевидная (дивергентная), её имеют 35% ординарных сколов и 75% сколов, снятых с бифасов (рис. 11: 11). И для сколов, снятых с бифасов, и для прочих наиболее характерна параллельная и конвергентная огранка. Очень высок показатель скошенности ударных площадок: 78% для ординарных сколов и 95% для сколов, снятых с бифасов.

Ударные площадки сколов бифасиального дебитажера: гладкие прямые — 27%, вогнутые — 8%, точечные — 21%, линейные — 15%. У ординарных сколов площадки преимущественно гладкие прямые и двугранные. Редуцированные площадки отмечены у чуть более чем половины сколов обработки бифасов, во многих случаях площадка интенсивно редуцированная, пришлифованные кромки не обнаружены. Среди ординарных сколов лишь 20% имеют редуцированную интенсивности. Наличие губы зафиксировано у 92% сколов, снятых с бифасов, и у 80% ординарных сколов. Можно заключить, что при изготовлении бифасов слоя К-2 преимущественно применялся мягкий отбойник и часто удар в ребро.

Сколы, связанные с изготовлением и расщеплением призматических нуклеусов, немногочисленны — менее 1% от всего дебитажера слоя К-2. Пластин девять, для всех характерно наличие губы и скошенной площадки.

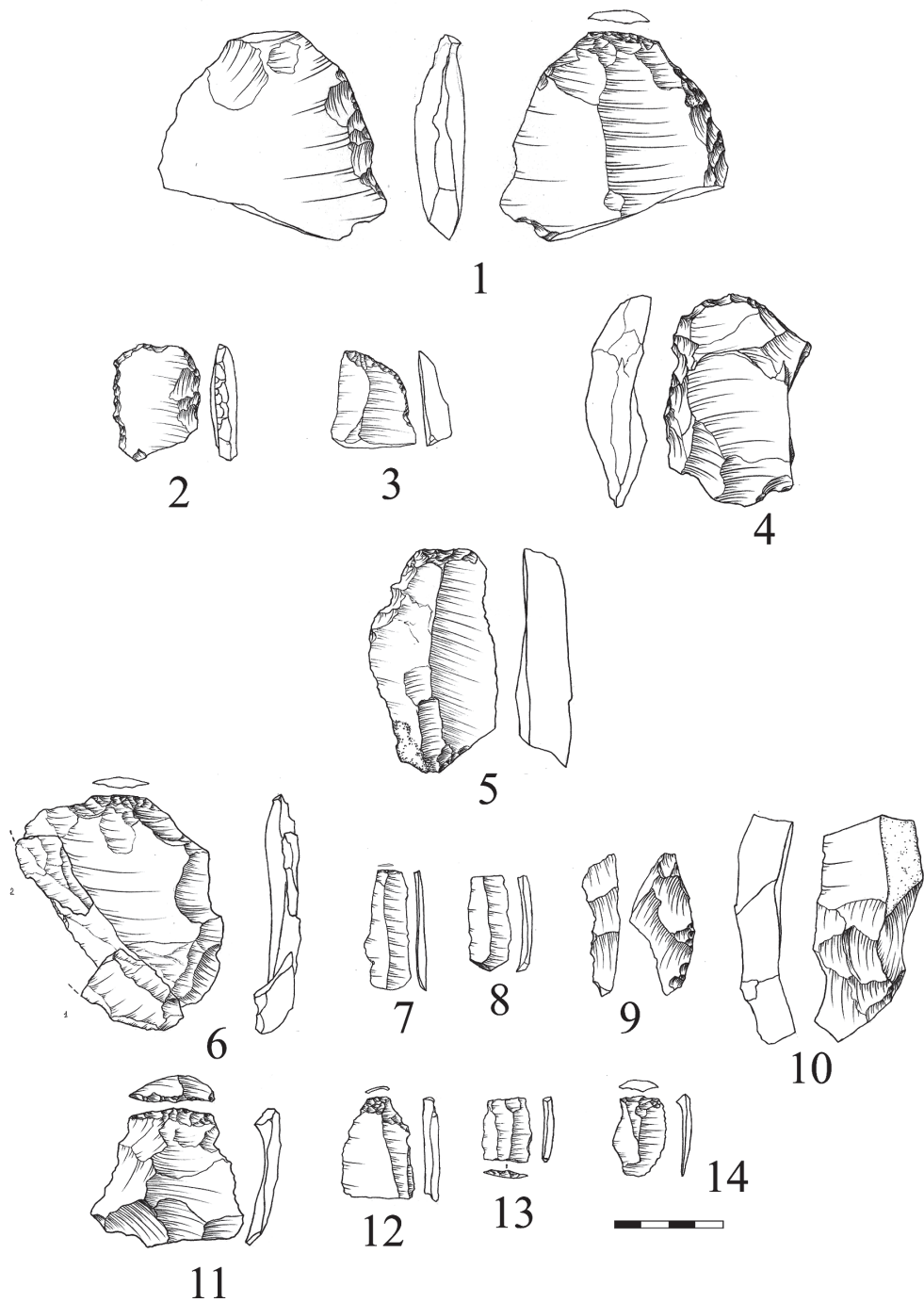


Рис. 11. Стоянка Непряхино, слой К-2, коллекция 2016 г., кострище. Орудия на отщепе и сколы
Fig. 11. Nepryakhino, layer K-2, 2016 collection, fire place assemblage. Tools on flakes and flakes

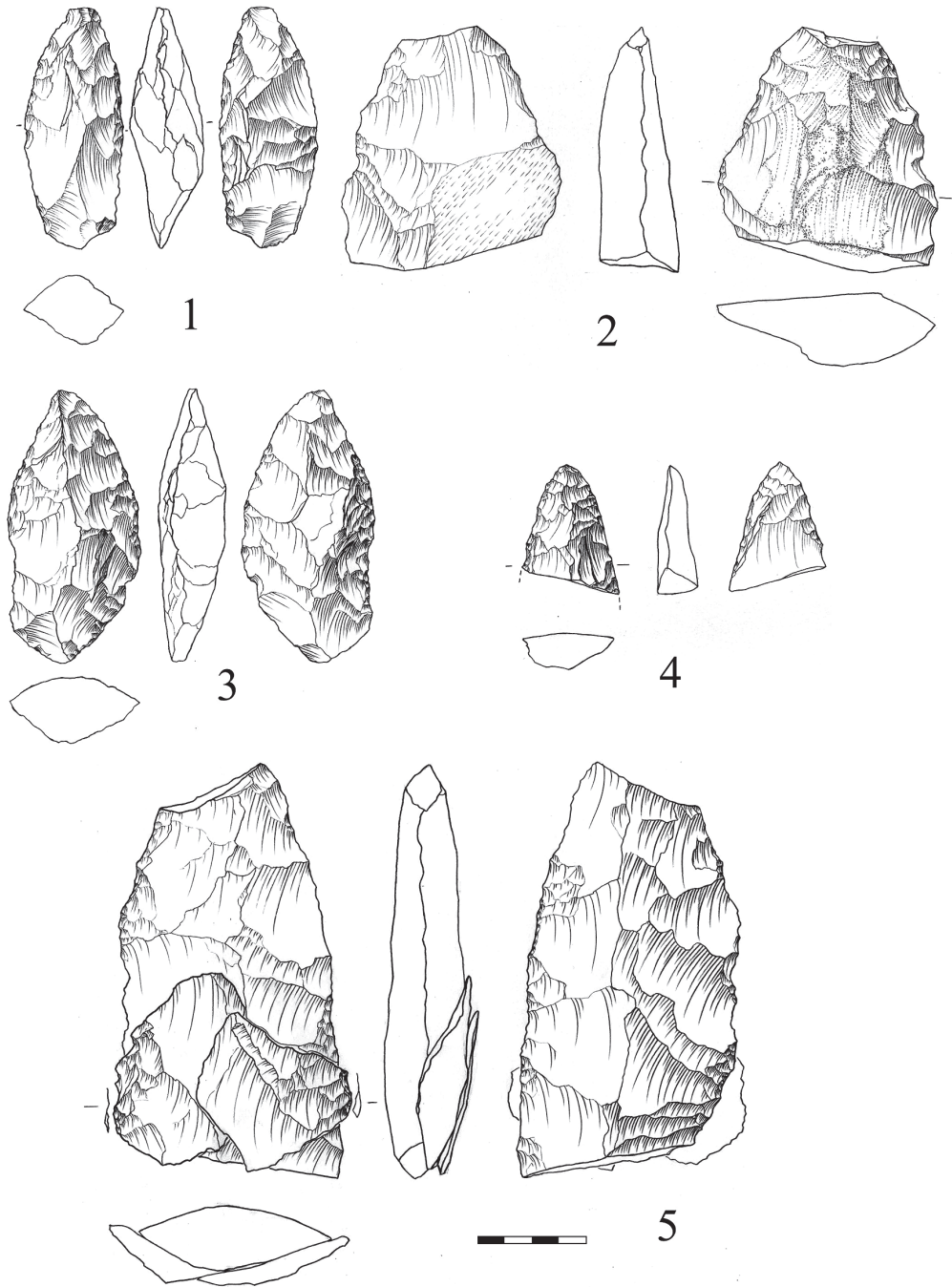


Рис. 12. Стоянка Непряхино, слой К-2, коллекция 2016 г., кострище. Бифасы
Fig. 12. Nepryakhino, layer K-2, 2016 collection, fire place assemblage. Bifaces

Формальных орудий 35 (4,3%), из них 16 предметов — это отщепы с ретушью и оббивкой. Возможно, два из них представляют собой заготовки небольших бифасиальных наконечников. Бифасов 10 (рис. 13: 1–3), в том числе четыре копьевидных, четыре частичных и два грубых. Интересен крупный копьевидный двояковыпуклый в сечении бифас, к которому апплицируется скол обработки (рис. 13: 3). При снятии с ещё довольно толстого бифаса уплощающего скола ударная волна нырнула слишком глубоко и отсекала часть основания изделия. Один из ученических бифасов представлен на рис. 13: 2.

Скребки среди находок за пределами кострища не встречены. Среди немногочисленных скребел преобладает группа выразительных орудий со сходящимися лезвиями (рис. 13: 4–6). Миниатюрное конвергентное скребло с кв. 4 (рис. 13: 5) с высокой долей вероятности может интерпретироваться как «ученическое».

Кроме того, в орудийном наборе слоя К-2 встречены редкий для комплексов нижних слоёв Непряхино ретушированный остроконечник и выразительный анкош.

Формальный индекс (сводные данные по всему слою, включая комплекс кострища) среднепалеолитической группы орудий (скребла, остроконечники, зубчато-выемчатые) — 15, верхнепалеолитической (скребки и отщеп с режцовым сколом) — 8 (рис. 10).

Слой К-3. Общее количество продуктов расщепления в слое 4979 (см. табл. 1). В группе нуклеидных 11 изделий, в том числе шесть собственно нуклеусов и четыре преформы призматических ядрищ (рис. 15: 1; 11: 1). Отличительные признаки преформ призматических нуклеусов: удлинённая форма, подтреугольное сечение, сформированные оббивкой два или три продольных ребра, заметно скошенная ударная площадка. К одной из преформ апплицировался заломившийся пробный скол (рис. 15: 1).

Соотношение нуклеусов плоскостного и объёмного принципов расщепления составляет 3 : 1 (рис. 14).

Среди 4563 сколов абсолютно преобладают отщепы, пластин всего 33 (рис. 15: 2–5), т. е. менее 1%, ребёрчатых сколов 15.

Сколы в коллекции слоя К-3 относительно крупные. Процент сколов с бифасов размерами более 70 мм в поперечнике составляет 18–27%. Сколы бифасиального дебитажа (рис. 16: 2–7) составляют в коллекции слоя К-3 74,8%, в разных горизонтах этот показатель варьирует от 63 до 82%. Преобладающая форма сколов в плане трапециевидная (дивергентная), её имеют 40% ординарных сколов и 75% сколов, снятых с бифасов. Сколы пластинчатых пропорций составляют среди ординарных 25%, а среди сколов, снятых с бифасов, — 10%. Типичные пластины среди всех формальных пластинчатых сколов составляют не более 10%. И для сколов, снятых с бифасов, и для прочих наиболее характерна продольная и конвергентная огранка. Отдельные отщепы, сколотые при изготовлении бифасов, имеют чрезвычайно сильно изогнутый профиль (рис. 16: 3).

Скошенные площадки имеются у 68% ординарных сколов и 97% сколов бифасиального дебитажа. Если скошенные площадки характерны вообще для сколов нижней пачки Непряхино (хотя для ординарных в меньшей степени), то сильно скошенные площадки характерны почти исключительно для бифасиального дебитажа. Произвольная выборка из 110 сколов горизонта К-3Б дала следующие цифры: из 86 сколов с бифасов 25 имеют скошенную площадку и 56 — сильно скошенную, из 24 ординарных сколов скошенную площадку имеют 20, но нет ни одной сильно скошенной.

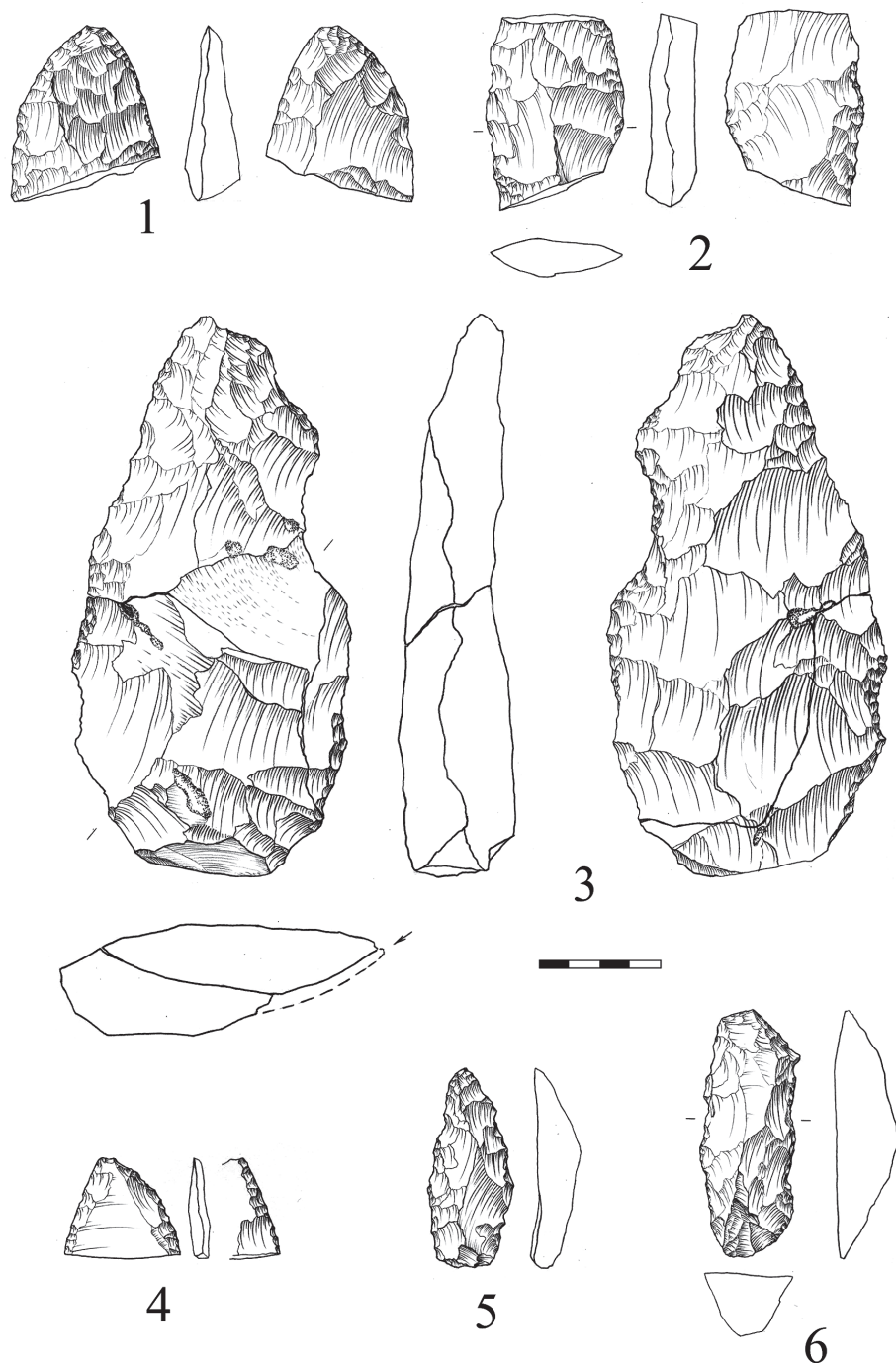


Рис. 13. Стоянка Непряхино, слой К-2, коллекция 2016 г. Бифасы и орудия на отщепях
Fig. 13. Npryakhino, layer K-2, 2016 collection. Bifaces and tools made on flakes

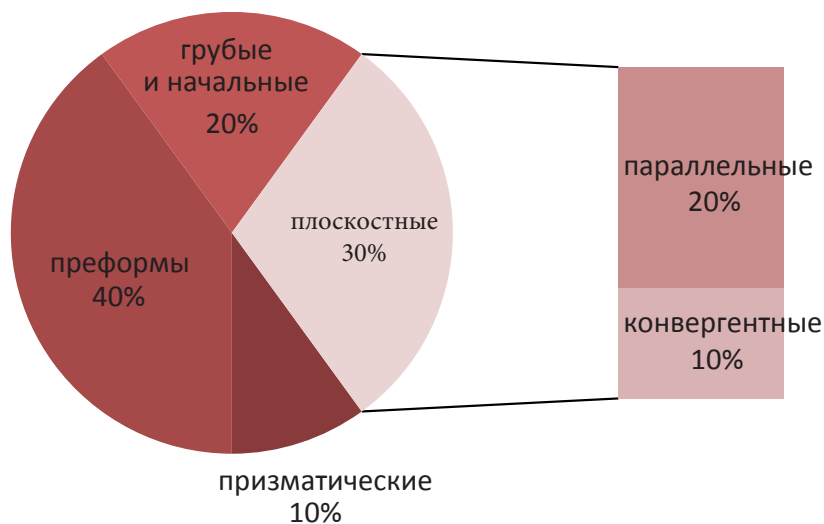


Рис. 14. Стоянка Непряхино, слой К-3. Соотношение разных типов нуклеусов в коллекции 2016 г.
 Fig. 14. Neryakhino, layer K-3, 2016 collection. Pie chart showing the proportion of different types of cores

Для бифасиального дебитажа слоя К-3 характерны гладкие прямые (26–29 %) или вогнутые (8 %), точечные (21 %, см. рис. 16: 3, 7) и линейные (14–16 %, см. рис. 16: 2) площадки. Таким образом, площадки, характерные для краевой техники скола, составляют почти половину из всех диагностированных площадок отщепов. Гладкие прямые площадки обычно узкие, широкие площадки исключение. У ординарных сколов абсолютно преобладают гладкие прямые площадки, хорошо представлены также двугранные и покрытые коркой. Редуцированные площадки имеют 52–54 % сколов обработки бифасов и 20 % ординарных сколов. Весьма характерно для бифасиального дебитажа слоя К-3 наличие губы или козырька между вентральной плоскостью и ударной площадкой, что обычно трактуется как результат использования мягкого отбойника. Выраженный рельефный ударный бугорок отмечен лишь у 3 % сколов. Для ординарных сколов тоже характерно наличие губы, но выраженный ударный бугорок встречается у этих сколов намного чаще, в 17 % случаев.

Среди бифасиального дебитажа представлены сколы снятия заломов (рис. 16: 6) и «нырнувшие» сколы — результат нерасчетливых ударов (рис. 16: 5).

Сколы, связанные с фабрикацией и расщеплением призматических нуклеусов, составляют менее 1,5 % от всех необработанных сколов слоя К-3 (рис. 15: 2–6). Среди пластин, которые могут считаться целевыми и имеют сохранившийся проксимальный конец, 13 % — с вогнутыми, линейными или точечными площадками (рис. 15: 3), а 29 % имеют редукцию площадок разной степени интенсивности (рис. 15: 3, 4). Это свидетельства применения краевой техники скола. Для всех пластин характерны губа и скошенный угол между площадкой и вентральной плоскостью. Сколы подправки и переоформления фронта нуклеуса, как, например, боковой скол подправки фронта с поперечной параллельной огранкой спинки (рис. 15: 6), редки.

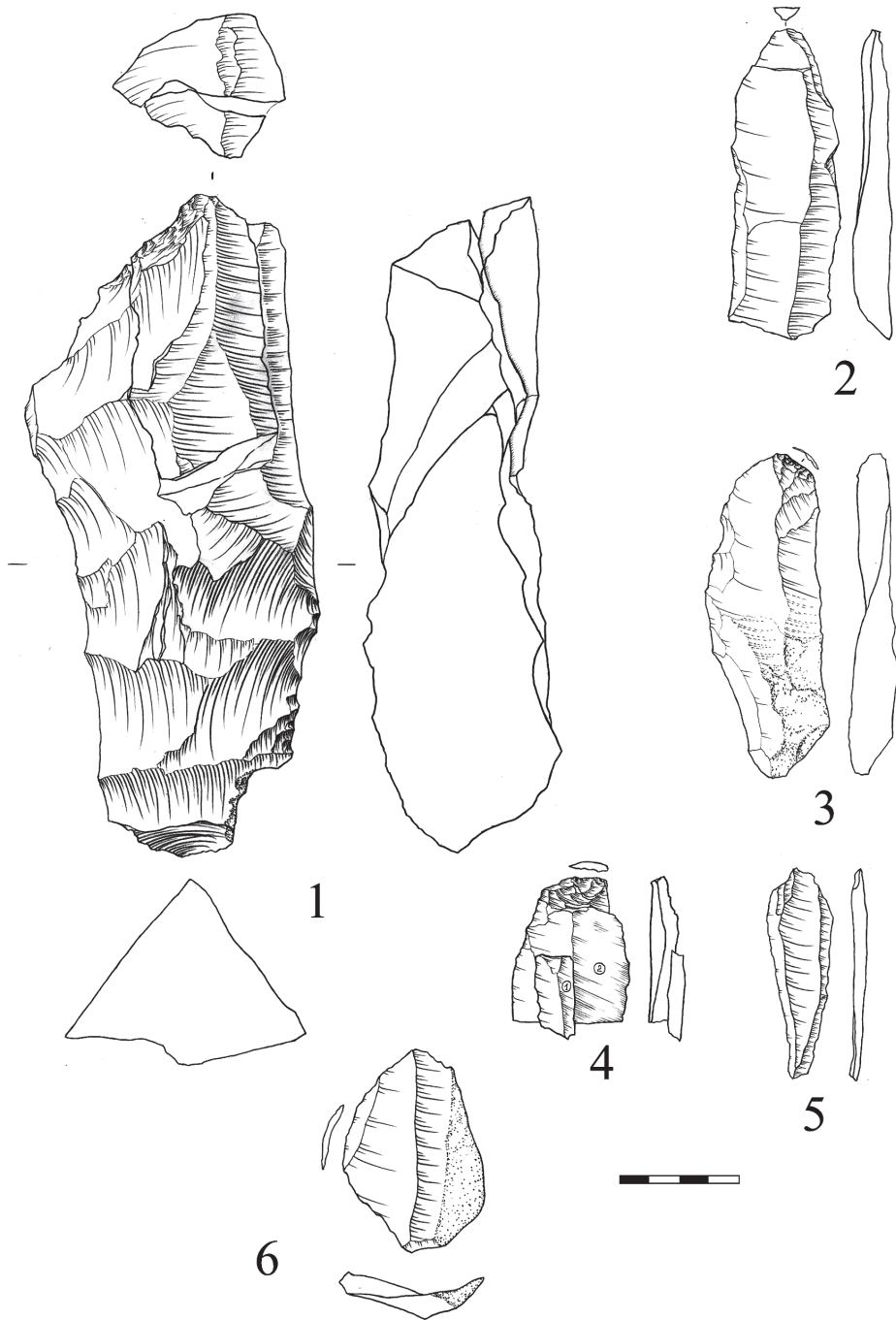


Рис. 15. Стоянка Непряхино, слой К-3, коллекция 2016 г. Преформа нуклеуса и сколы
Fig. 15. Nepryakhino, layer K-3, 2016 collection. Core preform and flakes

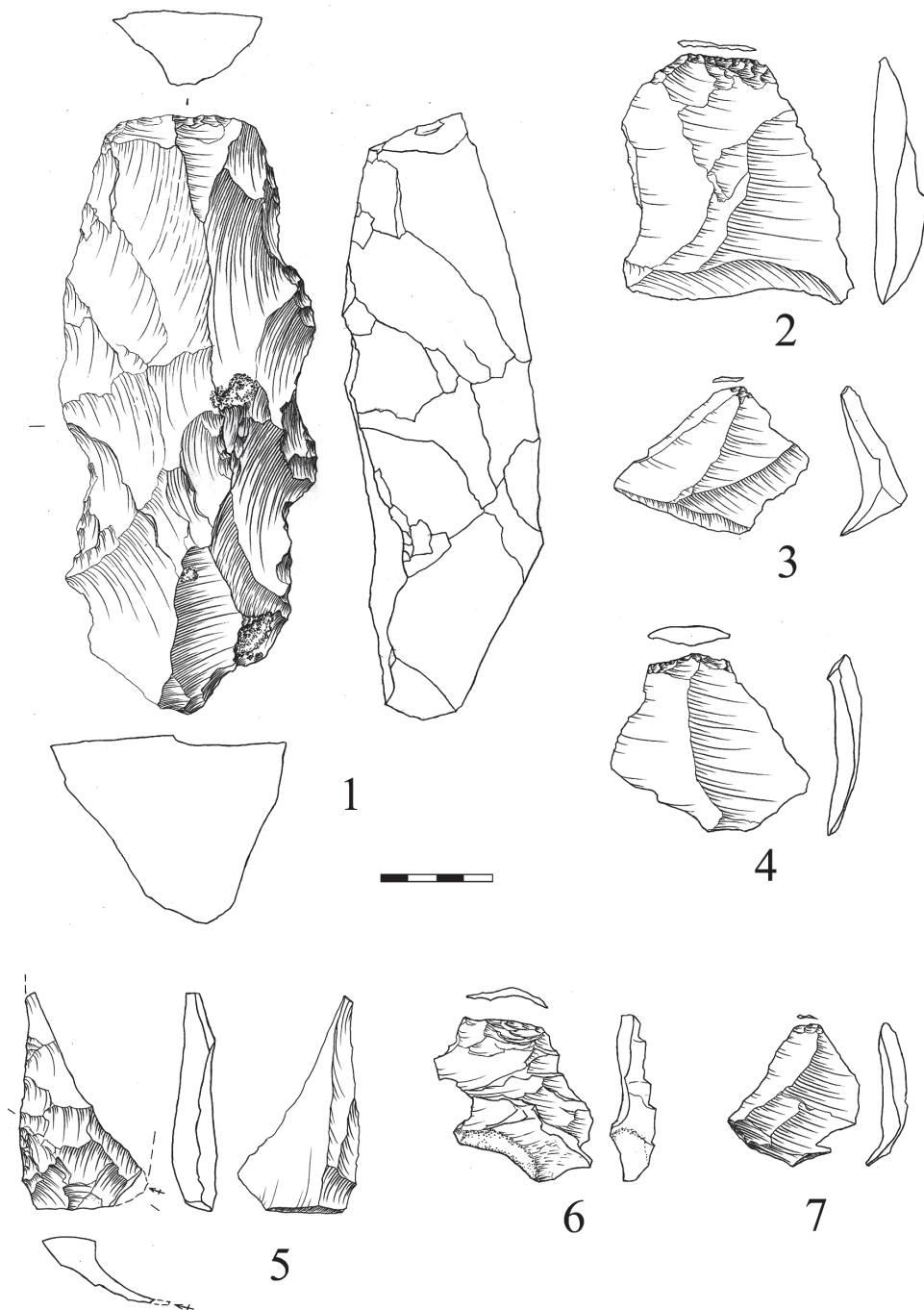


Рис. 16. Стоянка Непряхино, слой К-3, коллекция 2016 г. Преформа нуклеуса и сколы
Fig. 16. Nepryakhino, layer K-3, 2016 collection. Core preform and flakes



Рис. 17. Стоянка Непряхино, слой К-3. Соотношение разных групп орудий в коллекции 2016 г.
 Fig. 17. Neryakhino, layer K-3, 2016 collection. Pie chart showing the proportion of different groups of tools

Орудийный набор (144 изделия, около 2% всех артефактов) характеризуется большим количеством бифасов — 45, из них 27 сломаны (рис. 18: 1, 2, 4), много (31 экз.) грубых и частичных (рис. 17). Копьевидных бифасов 10, включая один целый экземпляр (рис. 18: 3), серию дистальных обломков (рис. 18: 1, 2) и один сломанный бифас (рис. 18: 4), у которого подобрались друг к другу обе части. Обломившаяся при изготовлении дистальная часть бифаса имеет великолепную обработку, в том числе мелкими сколами, симметричную форму и линзовидное сечение, тогда как большая часть изделия оформлена лишь в общих чертах крупными широкими сколами, а основание вообще затронуто оббивкой лишь частично. Два обломка по отдельности выглядят как фрагменты бифасов, сломавшихся на разных стадиях изготовления.

К группе бифасиальных наконечников примыкает листовидный наконечник с преимущественно дорсальной обработкой (рис. 19: 3), вентральным утончением базальной части и плосковыпуклым сечением. К «ученическим» бифасам могут быть причислены шесть предметов (рис. 19: 1, 2). Довольно крупный отщеп (рис. 19: 4) с частичной двусторонней оббивкой по одному выпуклому продольному краю и отдельными негативами сколов по другому иллюстрирует начальную стадию изготовления бифасов из крупных, очевидно, специально скальывавшихся для этого отщепов. Вообще в качестве заготовок для бифасов выбирались как крупные отщепы, так и плитки и массивные куски кварцита.

Скрёбел 23 (рис. 20: 2–4), преобладают простые и со сходящимися лезвиями. Скрёбков 11, и именно в слое К-3 встречены немногочисленные типологически выразительные орудия этой категории (рис. 20: 6, 7). Отщепов с ретушью 47. Есть типичная проколка с остриём, сформированным ретушью на углу отщепа (рис. 20: 8), и двойной резец (рис. 20: 9) на сломе отщепа.

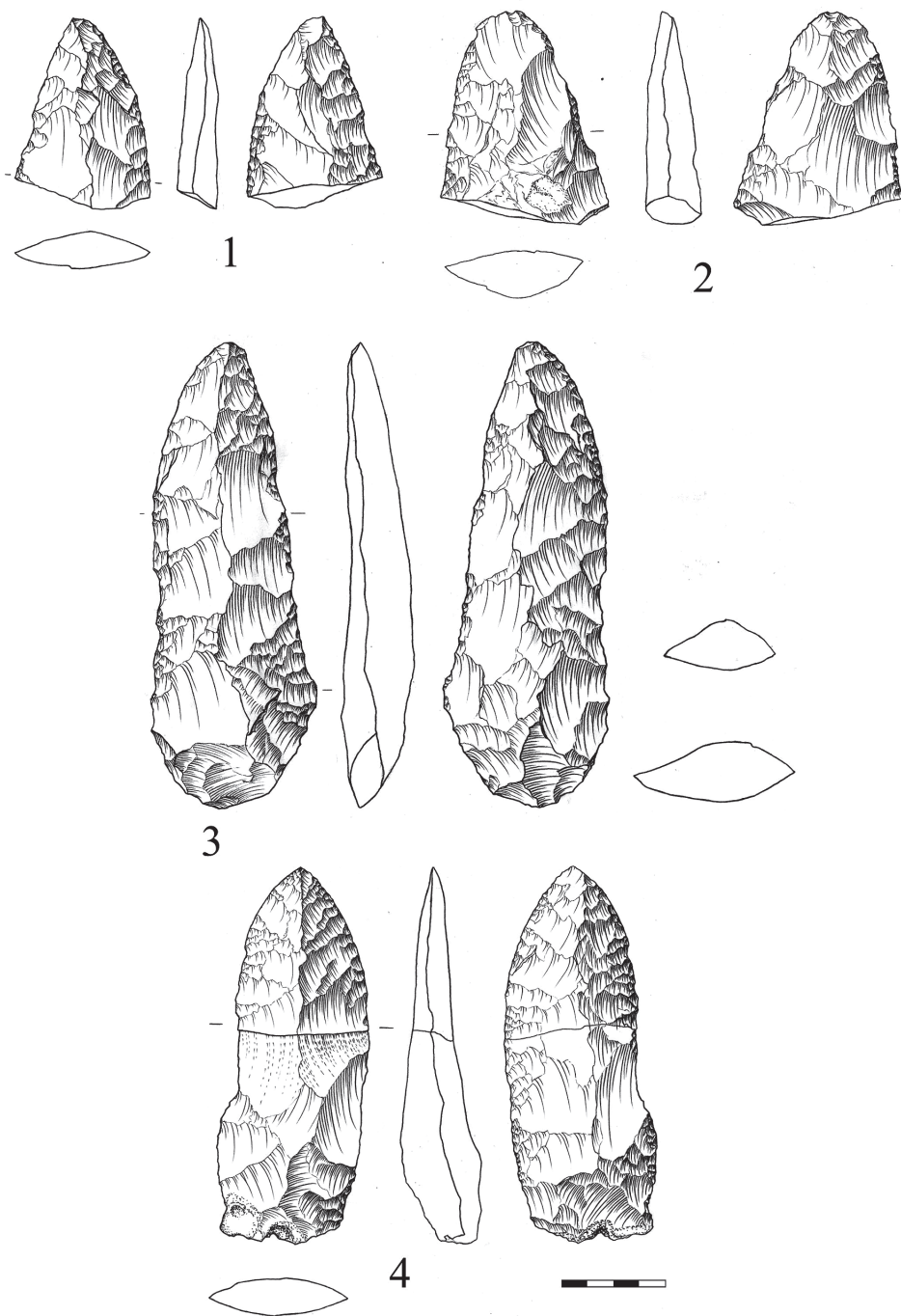


Рис. 18. Стоянка Непряхино, слой К-3, коллекция 2016 г. Бифасы
Fig. 18. Nepryakhino, layer K-3, 2016 collection. Bifaces

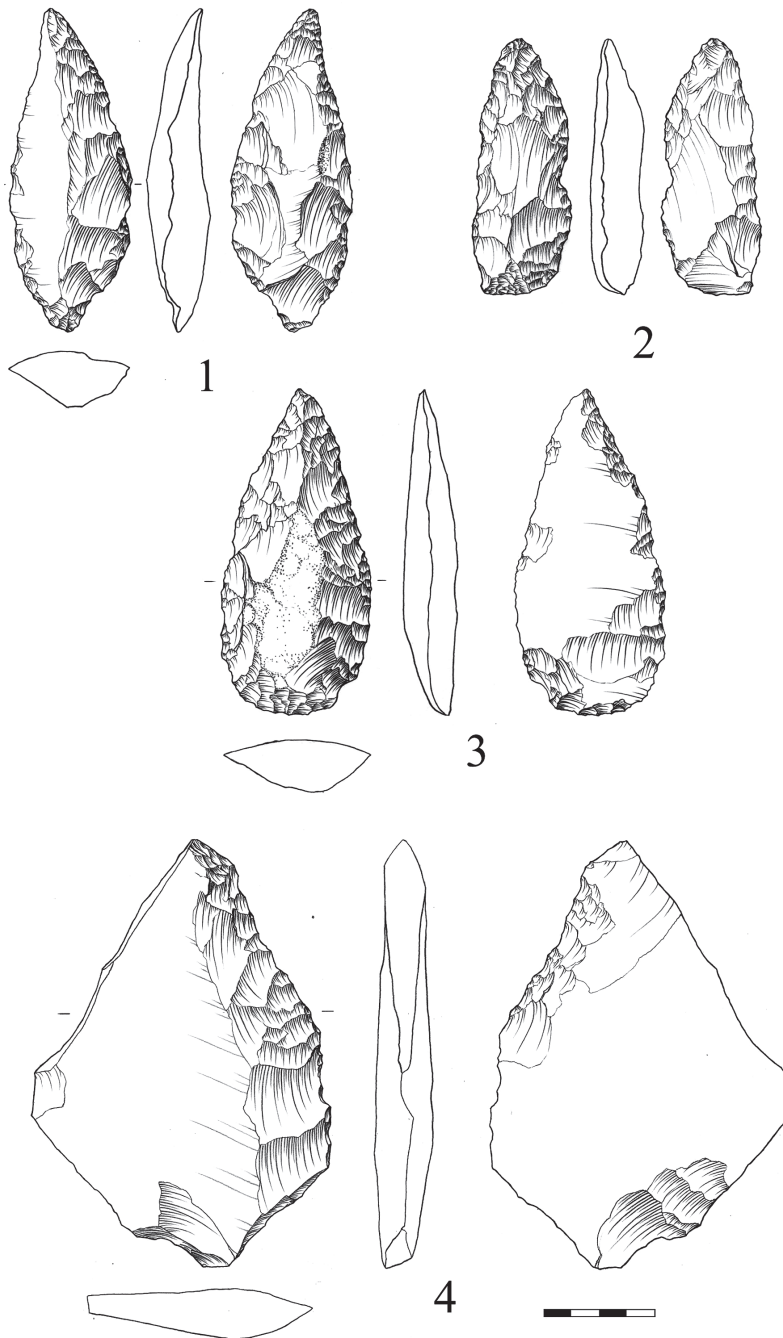


Рис. 19. Стоянка Непряхино, слой К-3, коллекция 2016 г. Бифасы, оригинальный наконечник и отщеп с оббивкой
Fig. 19. Nepryakhino, layer K-3, 2016 collection. Bifacially worked tools

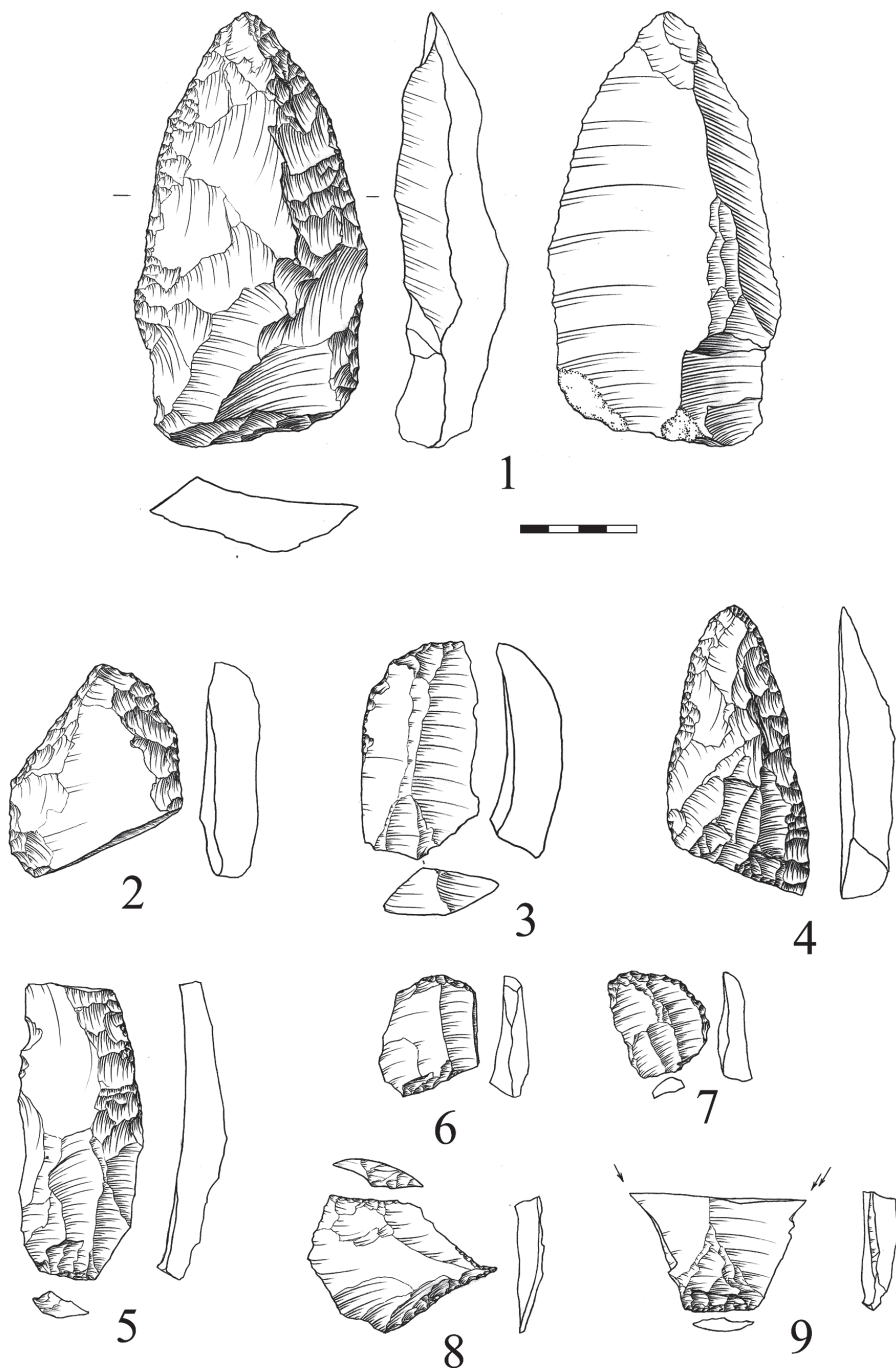


Рис. 20. Стоянка Непряхино, слой К-3, коллекция 2016 г. Орудия на отщепав
Fig. 20. Nepryakhino, layer K-3, 2016 collection. Tools on the flakes

Для орудийного комплекса слоя К-3 характерна вторичная обработка, значительно модифицирующая исходную заготовку. По этой причине сложно говорить о предпочтениях обитателей стоянки при выборе заготовок для орудий. Однако очевидно, что орудия на пластинчатых заготовках единичны (рис. 20: 5).

Выводы по кварцитовым комплексам нижней пачки

Слой К-1 (см. рис. 3 и 7):

а) Соотношение среднепалеолитической (плоскостные) и верхнепалеолитической (объёмные и полуобъёмные) групп нуклеусов составляет 17 : 19, то есть оба варианта представлены примерно в равном количестве; б) в группе нуклеусов почти 40 % составляют преформы призматических ядрищ; в) пластины и технические сколы, связанные с призматическим расщеплением, составляют 4 % от всех сколов; г) соотношение среднепалеолитической и верхнепалеолитической групп в орудийном наборе 20 : 8; д) бифасов относительно немного — 16 % от всех орудий.

Слой К-2 (см. рис. 10):

а) Недостаточно данных; б) недостаточно данных; в) пластины и технические сколы, связанные с призматическим расщеплением, составляют 1 % от всех сколов; г) соотношение среднепалеолитической и верхнепалеолитической групп в орудийном наборе 15 : 8; д) бифасы составляют 23 % от всех орудий.

Слой К-3 (см. рис. 14 и 17):

а) Соотношение среднепалеолитической и верхнепалеолитической групп нуклеусов составляет 30 : 10; б) в группе нуклеусов 40 % составляют преформы призматических ядрищ; в) пластины и технические сколы, связанные с призматическим расщеплением, составляют 1 % от всех сколов; г) соотношение среднепалеолитической и верхнепалеолитической групп в орудийном наборе 18 : 10; д) бифасы составляют 31 % от всех орудий.

Наблюдается, как кажется, тенденция к увеличению верхнепалеолитической компоненты в первичном расщеплении и уменьшению доли бифасов в орудийном наборе от слоя К-3 к слою К-1. Но эта тенденция может иметь и случайный характер, а комплексы отдельных слоёв нижней пачки обнаруживают больше сходств, чем различий.

В целом для индустрий нижней пачки слоёв Непряхино характерен следующий комплекс специфических черт:

1. Орудийный набор:

- высокая (от 16 до 31 %) доля бифасов;
- крайняя редкость орудий на пластинах и, наоборот, большое число орудий на отщепах), а среди них — скрёбел (со значительной долей угловатых и конвергентных);
- скребки немногочисленны и типологически не так выразительны и устойчивы, как скрёбла, скребки на пластинах нехарактерны, а резцы, похоже, случайны.

2. Первичное расщепление:

- отщепы абсолютно преобладают над пластинами, но говорить о целевых отщепах не приходится: 63–75 % сколов — это бифасиальный дебитаж, а среди ординарных отщепов нет серий с устойчивой морфологией;

- нуклеусы плоскостного принципа расщепления количественно преобладают над объемными, но если первые разнообразны по своей морфологии, то вторые обнаруживают отчётливые черты единой технологии подготовки, расщепления и подправки и вместе с представительной группой преформ призматических нуклеусов позволяют говорить о преобладании в первичном расщеплении верхнепалеолитической технологии производства призматических нуклеусов с продольными рёбрами и краевой техники скола для получения крупных пластин.

Очевидно, что культурные слои памятника не являются остатками долговременных жилых объектов. Палеолитических людей привлекали в это место доступность и обилие кварцитового сырья. Изготовленные нуклеусы и полученные качественные заготовки уносились за пределы стоянки (или, по крайней мере, за пределы раскопанного участка). Для употребления на месте орудия (в основном скрёбла) фабриковались из нецелевых, но подходящих по размеру и форме отщепов, иногда обломков или осколков.

Многочисленные бифасы, суммарная техническая характеристика которых обнаруживает сходство скорее с бифасами среднего³, нежели верхнего палеолита и ни один из которых не имеет завершающей ретуши, иллюстрируют технологию изготовления бифасиальных наконечников, предназначенных для дальнейшей транспортировки и окончательной отделки на новом месте⁴.

Из сказанного можно сделать вывод, что архаический облик индустрий, складывающийся из формально-типологических показателей, не должен довлеть над нами при интерпретации имеющихся данных, а индустриальные комплексы нижней пачки Непряхино, учитывая технологический анализ дебитаж, представляются более продвинутыми и вполне вписывающимися в вариативность раннего верхнего палеолита Евразии.

Заключение. Индустриальные комплексы нижней пачки Непряхино в контексте перехода от среднего палеолита к верхнему

Среди известных стоянок позднего среднего и раннего верхнего палеолита на территории Евразии нет индустрий, сопоставимых с нижней пачкой Непряхино по всей совокупности значимых признаков. Однако по отдельным группам инвентаря и даже их сочетанию наблюдаются определённые параллели.

Значительное число общих черт обнаруживается с верхнепалеолитическими слоями 3 и 3а Бирючьей Балки 1а, где представлены разнообразные

³ Ранее в своих публикациях (Захариков 1999а: 197–206; 2018: 64) автор находил параллели бифасам Непряхино среди широкого круга селетских комплексов. Сейчас это возможное сходство представляется не более чем формальным.

⁴ Соответственно, двусторонне обработанные наконечники Непряхино, учитывая технологические особенности их фабрикации, фиксируемые как на самих изделиях, так и на сколах их обработки (широкое применение краевой техники скола с редуцированной подготовкой краёв площадок), можно рассматривать как верхнепалеолитические. Автор отдаёт себе отчёт в проблематичности сравнения незавершённых орудий из разных удалённых друг от друга и к тому же базирующихся на разном сырье комплексов, однако невозможно не обратить внимание на сходство бифасиальных наконечников Непряхино с многочисленными и тоже незавершенными бифасами из 3-го слоя Бирючьей Балки 2 и особенно Бирючьей Балки 1а, слои 3 и 3а, индустрии которых определяются как верхнепалеолитические (Матюхин 2002: 11–28; 2012: 132–188).

и преимущественно двояковыпуклые в сечении бифасы, а пластины составляют до 10% от всех сколов. Нуклеусов мало, а орудия на отщепках малочисленны и невыразительны (Матюхин 2002: 11–28).

Для среднепалеолитических горизонтов Бирючьей Балки 2 характерен довольно высокий индекс пластинчатости (в коллекции горизонта 5 пластины и пластинки составляют более 10% от всех сколов) и значительная доля объёмных нуклеусов для пластин (от 15 до 18% в горизонтах 6, 5 и 4). Среди орудий среднепалеолитического горизонта 4 бифасы составляют 5,5%. Для вышележащего горизонта 3, обычно включаемого в круг индустрий стрелецкого типа, также характерно значительное количество пластинчатых заготовок и нуклеусов объёмного и полуобъёмного параллельного расщепления (Матюхин 2012: 95–135). Комплекс включает в себя многочисленные бифасы, и в том числе бифасиальные наконечники.

С другими комплексами стрелецкого круга сходных черт значительно меньше, но важным представляется наблюдение, сделанное В. Н. Степанчуком: симбиотические индустрии с абсолютным преобладанием отщепов в комплексах и традиционно воспринимаемые, как отщеповые, «содержат сколы, убедительно иллюстрирующие знакомство их изготовителей с различными продвинутыми приёмами пластинчатой технологии» (Степанчук 2011: 38–50).

Интересен комплекс Королёво II, слой II, где хорошо представлено весьма продвинутое пластинчатое расщепление (Monigal et al. 2006: 61–74). Здесь присутствуют и многочисленные листовидные бифасы двояковыпуклого сечения и разной степени законченности, сопровождаемые сколами бифасиального дебитаж (Demidenko, Usik 1993: 49–62). Как по общей морфологии, так и по многим технологическим особенностям они сходны с бифасами Непряхино. Скрёбла составляют около 17% среди всех орудий. Таким образом, по технико-технологическим показателям комплекс слоя II Королёво II, пожалуй, наиболее близок индустриям нижней пачки слоёв Непряхино. По вопросу статуса индустрии Королёво II/III нет единства мнений: её определяют как начальный верхний палеолит, и как переходную индустрию, отмечая сходство с богунисьенном и даже с селетом в широкой его трактовке (Аникович 2000: 12; Тостевин 2000: 218–231; Wei Chu 2018: 137).

Интересен в плане сравнения с материалами Непряхино и комплекс слоя II Костёнок 17, несомненно, относящийся к раннему верхнему палеолиту (Аникович и др. 2007: 224–227; 2008: 125–128; Синицын и др. 2019: 34). По мнению исследователей этого памятника, крупные пластины снимались с крупных призматических одноплощадочных нуклеусов где-то за пределами стоянки и приносились на неё уже готовыми (Бессуднов 2019).

Представляется необходимым более подробно остановиться на сопоставлении материалов нижней пачки Непряхино, Королёво II/III и Спицынской стоянки, слой II. При сравнении представленных в этих комплексах элементов целевого пластинчатого расщепления можно заметить, что в первом случае (стоянка расположена на выходах каменного сырья) в коллекции преобладают продукты расщепления, связанные преимущественно с *изготовлением* нуклеусов для пластин; во втором (каменное сырьё тоже в шаговой доступности) — продукты, преимущественно связанные с *расщеплением* нуклеусов; в третьем (выходы каменного сырья близ стоянки неизвестны) — крупные целевые пластины, принесённые извне, включены в качестве *сколов-заготовок* в орудийный набор (курсив мой. — А. З.). Общий облик индустрий, обусловленный их различными

позициями в организационной схеме утилизации каменного сырья, будет определён отличаться, причём для нижней пачки Непряхино он будет казаться более архаичным, а для комплекса Костёнок 17/II более продвинутым.

Литература

- Аникович М. В. 2000. Начальная пора верхнего палеолита Восточной Европы. *Stratum plus* 1, 11–30.
- Аникович М. В., Анисюткин Н. К., Вишняцкий Л. Б. 2007. *Узловые проблемы перехода к верхнему палеолиту в Евразии*. СПб.: Нестор-История.
- Аникович М. В., Попов В. В., Платонова Н. И. 2008. *Палеолит Костенковско-Борщевского района в контексте верхнего палеолита Европы*. СПб.: Нестор-История.
- Бессуднов А. А. 2019. Особенности каменного инвентаря нижнего культурного слоя Костёнок 17 (Спицынская) в свете новых данных. В: Родинкова В. Е. (ред.). *Новые материалы и методы археологического исследования: От критики источника к обобщению и интерпретации данных*. М.: ИА РАН, 13–14.
- Вишняцкий Л. Б. 2008. *Культурная динамика в середине позднего плейстоцена и причины верхнепалеолитической революции*. СПб.: Изд-во Санкт-Петербургского ун-та.
- Демиденко Ю. Э. 2003. Сколы обработки орудий, как индикатор особенностей и интенсивности процессов кремнеобработки и жизнедеятельности коллективов неандертальцев на стоянках среднего палеолита в контексте вариабельности индустрий крымской микокской традиции. *Археологический альманах* 13, 128–157.
- Захариков А. П. 1993. Бифасы Непряхино. *Археологические вести* 1 (Саратов), 47–63.
- Захариков А. П. 1999а. Индустрии с бифасами и переход от мустье к позднему палеолиту в Европе. *Археологический альманах* 8, 197–206.
- Захариков А. П. 1999б. Технология изготовления бифасиальных орудий нижних слоёв стоянки Непряхино. *Археологическое наследие Саратовского края* 3, 108–121.
- Захариков А. П. 2008. Стоянка Непряхино: некоторые итоги исследований. В: Голдина Р. Д. (ред.). *Археологическая экспедиция: новейшие достижения в изучении историко-культурного наследия Евразии*. Ижевск: Изд-во Удмуртского ун-та, 320–360.
- Захариков А. П. 2017а. Раскопки стоянки Непряхино в 2016 году. *Археологические записки* 9, 6–11.
- Захариков А. П. 2017б. Комплексные исследования многослойной стоянки Непряхино в 2016 году. *Археологическое наследие Саратовского края* 15, 3–29.
- Захариков А. П. 2018. *Многослойная стоянка Непряхино*. Ростов н/Д: Альтаир.
- Захариков А. П. 2019. Ранний верхний палеолит на юго-востоке Восточно-Европейской равнины (по материалам новых раскопок стоянки Непряхино). В: Гаврилов К. Н. (ред.). *Культурная география палеолита Восточно-Европейской равнины: от микока до эпиграветта*. М.: ИА РАН, 79–80.
- Захариков А. П. 2020. Ученические изделия в комплексах нижних слоёв стоянки Непряхино. *Первобытная археология. Журнал междисциплинарных исследований* 1, 123–134.
- Каномата Й. 2017. Отчет о радиоуглеродном AMS датировании. Стоянка Непряхино. Россия, октябрь 2016 г. *Археологические записки* 9, 12–14.
- Матюхин А. Е. 1983. Орудия раннего палеолита. В: Рогачев А. Н. (ред.). *Технология производства в эпоху палеолита*. Л.: Наука, 134–190.
- Матюхин А. Е. 2002. Многослойная палеолитическая мастерская Бирючья Балка 1а. *Археологические записки* 2, 11–28.
- Матюхин А. Е. 2012. *Бирючья балка 2. Многослойный палеолитический памятник в бассейне Нижнего Дона*. СПб.: Нестор-История.

- Нехорошев П. Е. 1999. *Технологический метод изучения первичного расщепления камня среднего палеолита*. СПб.: Европейский дом.
- Синицын А. А., Бессуднов А. А., Лада А. Р. 2019. Проблема структуры раннего верхнего палеолита в костенковском и общеевропейском контексте. В: Бессуднов А. А. (ред.). *Древнейший палеолит Костенок: хронология, стратиграфия, культурное разнообразие (к 140-летию археологических исследований в Костенковско-Борщевском районе)*. Воронеж: Издательский дом Воронежского ун-та, 31–35.
- Степанчук В. Н. 2011. Архаичные индустрии раннего верхнего палеолита Восточной Европы: к вопросу о технологии пластинчатого расщепления и об «ориньякоидности». *Археологія і Давня Історія України* 6, 38–51.
- Тостевин Г. 2000. Это случилось дважды: Межрегиональная диффузия в Центральной Европе, Восточной Европе и Леванте в период от 60 до 30 тысяч лет назад. *Stratum plus* 1, 216–235.
- Bradley B., Sampson C. G. 1986. Analysis by replication of two Acheulian artefact assemblages. In: Bailey G. N., Callow P. (eds.). *Stone Age Prehistory: Studies in Memory of C. McBurney*. Cambridge: Cambridge University Press, 29–45.
- Bradley B., Anikovich M., Giria E. 1995. Early Upper Palaeolithic in the Russian Plane: Streletskayan flaked stone artefacts and technology. *Antiquity* 69, 989–998.
- Demidenko Y. E., Usik V. I. 1993. Leaf points of the Upper Palaeolithic industry from the 2nd complex of Corolevo II and certain methodical problems in description and interpretation of the category of Palaeolithic tools. *Prehistoire Europeenne* 4, 49–62.
- Monigal K., Usik V. I., Koulakovskaya L., Gerasimenko N. P. 2006. The beginning of the Upper Paleolithic in Transcarpathia, Ukraine. *Anthropologie* XLIV, 61–74.
- Newcomer M. H. 1971. Some quantitative experiments in handaxe manufacture. *World Archaeology* 3, 85–94.
- Wei Chu. 2018. The Danube Corridor hypothesis and the Carpathian Basin: Geological, environmental and archaeological approaches to characterizing Aurignacian dynamics. *Journal of World Prehistory* 31, 117–178.
- Zakharikov A. 2002. Le site de Nepryakhino sur la moyenne Volga (Russie). *L'Anthropologie* 106, 185–206.
- Zakharikov A. 2017. The multilayer Nepryakhino site and the Streletskian. *Le Sungirien (Études et Recherches Archéologiques de l'Université de Liège 147)*. Liège: Presses Universitaires de Liège, 61–72.

References

- Anikovich M. V. 2000. Nachal'naya pora verkhnego paleolita Vostochnoi Evropy. *Stratum plus* 1, 11–30 (in Russian).
- Anikovich M. V., Popov V. V., Platonova N. I. 2008. *Paleolit Kostenkovsko-Borshchevskogo raiona v kontekste verkhnego paleolita Evropy*. SPb.: "Nestor-Istoriia" Publ. (in Russian).
- Anikovich M. V., Anisiutkin N. K., Vishniatskii L. B. 2007. *Uzlovye problemy perekhoda k verkhnemu paleolitu v Evrazii*. SPb.: "Nestor-Istoriia" Publ. (in Russian).
- Bessudnov A. A. 2019. Osobennosti kamennogo inventaria nizhnego kul'turnogo sloia Kostenok 17 (Spitsynskaia) v svete novykh dannykh. In: Rodinkova V. E. (ed.). *Novye materialy i metody arkheologicheskogo issledovaniia: Ot kritiki istochnika k obobshcheniiu i interpretatsii dannykh*. M.: "IA RAN" Publ., 13–14 (in Russian).
- Bradley B., Anikovich M., Giria E. 1995. Early Upper Palaeolithic in the Russian Plane: Streletskayan flaked stone artefacts and technology. *Antiquity* 69, 989–998.
- Bradley B., Sampson C. G. 1986. Analysis by replication of two Acheulian artefact assemblages. In: Bailey G. N., Callow P. (eds.). *Stone Age Prehistory: Studies in Memory of C. McBurney*. Cambridge: Cambridge University Press, 29–45.

- Demidenko Iu. E. 2003. Skoly obrabotki orudii, kak indikator osobennosti i intensivnosti protsessov kremneobrabotki i zhiznedeiatel'nosti kollektivov neandertal'tsev na stoiankakh srednego paleolita v kontekste variabel'nosti industrii krymskoi mikokskoi traditsii. *Arkheologicheskii al'manakh* 13, 128–157 (in Russian).
- Demidenko Y. E., Usik V. I. 1993. Leaf points of the Upper Palaeolithic industry from the 2nd complex of Corolevo II and certain methodical problems in description and interpretation of the category of Palaeolithic tools. *Prehistoire Europeenne* 4, 49–62.
- Kanomata I. 2017. Otchet o radiouglerodnom AMS datirovanii. Stoianka Nepriakhino. Rossiia, oktiabr' 2016 g. *Arkheologicheskie zapiski* 9, 12–14 (in Russian).
- Matiukhin A. E. 1983. Orudiia rannego paleolita. In: Rogachev A. N. (ed.). *Tekhnologiya proizvodstva v epokhu paleolita*. L.: "Nauka" Publ., 134–190 (in Russian).
- Matiukhin A. E. 2002. Mnogosloinaia paleoliticheskaia masterskaia Biriuch'ia Balka 1a. *Arkheologicheskie zapiski* 2, 11–28 (in Russian).
- Matiukhin A. E. 2012. Biriuch'ia balka 2. *Mnogosloinyi paleoliticheskii pamiatnik v basseine Nizhnego Dona*. SPb.: "Nestor-Istoriia" Publ. (in Russian).
- Monigal K., Usik V. I., Koulakovskaya L., Gerasimenko N. P. 2006. The beginning of the Upper Paleolithic in Transcarpathia, Ukraine. *Anthropologie* XLIV, 61–74.
- Nekhoroshev P. E. 1999. *Tekhnologicheskii metod izuchenii pervichnogo rasshchepleniia kamnia srednego paleolita*. SPb.: "Evropeiskii dom" Publ. (in Russian).
- Newcomer M. H. 1971. Some quantitative experiments in handaxe manufacture. *World Archaeology* 3, 85–94.
- Sinitsyn A. A., Bessudnov A. A., Lada A. R. 2019. Problema struktury rannego verkhnego paleolita v kostenkovskom i obshcheevropeiskom kontekste. In: Bessudnov A. A. (ed.). *Drevneishii paleolit Kostenok: khronologiya, stratigrafiia, kul'turnoe raznoobrazie (k 140-letiiu arkheologicheskikh issledovaniy v Kostenkovsko-Borshchevskom raione)*. Voronezh: "Izdatel'skii dom Voronezhskogo un-ta", 31–35 (in Russian).
- Stepanchuk V. N. 2011. Arkhaichnye industrii rannego verkhnego paleolita Vostochnoi Evropy: k voprosu o tekhnologii plastinchatogo rasshchepleniia i ob «orin'iakoidnosti». *Arkheologiya i Davnia Istoriia Ukraini* 6, 38–51 (in Russian).
- Tostevin G. 2000. Eto sluchilos' dvazhdy: Mezhtsional'naia diffuziia v Tsentral'noi Evrope, Vostochnoi Evrope i Levante v period ot 60 do 30 tysiach let nazad. *Stratum plus* 1, 216–235 (in Russian).
- Vishniatskii L. B. 2008. *Kul'turnaia dinamika v seredine pozdnego pleistotsena i prichiny verkhnepaleoliticheskoi revoliutsii*. SPb.: "Izd-vo Sankt-Peterburgskogo un-ta" Publ. (in Russian).
- Wei Chu. 2018. The Danube Corridor hypothesis and the Carpathian Basin: Geological, environmental and archaeological approaches to characterizing Aurignacian dynamics. *Journal of World Prehistory* 31, 117–178.
- Zakharikov A. 2002. Le site de Nepriakhino sur la moyenne Volga (Russie). *L'Anthropologie* 106, 185–206.
- Zakharikov A. 2017. The multilayer Nepriakhino site and the Streletskian. *Le Sungirien (Études et Recherches Archéologiques de l'Université de Liège 147)*. Liège: Presses Universitaires de Liège, 61–72.
- Zakharikov A. P. 1993. Bifasy Nepriakhino. *Arkheologicheskie vesti* 1 (Saratov), 47–63 (in Russian).
- Zakharikov A. P. 1999a. Industrii s bifasami i perekhod ot must'e k pozdnemu paleolitu v Evrope. *Arkheologicheskii al'manakh* 8, 197–206 (in Russian).
- Zakharikov A. P. 1999b. Tekhnologiya izgotovleniia bifasial'nykh orudii nizhnikh sloev stoianki Nepriakhino. *Arkheologicheskoe nasledie Saratovskogo kraia* 3, 108–121 (in Russian).
- Zakharikov A. P. 2008. Stoianka Nepriakhino: nekotorye itogi issledovaniy. In: Goldina R. D. (ed.). *Arkheologicheskaiia ekspeditsiia: noveishie dostizheniia v izuchenii istoriko-kul'turnogo nasledii Evrazii*. Izhevsk: "Izd-vo Udmurtskogo un-ta" Publ., 320–360 (in Russian).

- Zakharikov A. P. 2017a. Raskopki stoiarki Nepriakhino v 2016 godu. *Arkheologicheskie zapiski* 9, 6–11 (in Russian).
- Zakharikov A. P. 2017b. Kompleksnye issledovaniia mnogoslinoi stoiarki Nepriakhino v 2016 godu. *Arkheologicheskoe nasledie Saratovskogo kraia* 15, 3–29 (in Russian).
- Zakharikov A. P. 2018. *Mnogoslinoia stoiarka Nepriakhino*. Rostov-na-Donu: "Al'tair" Publ. (in Russian).
- Zakharikov A. P. 2019. Rannii verkhni paleolit na iugo-vostoke Vostochno-Evropeiskoi ravniny (po materialam novykh raskopok stoiarki Nepriakhino). In: Gavrilov K. N. (ed.). *Kul'turnaia geografiia paleolita Vostochno-Evropeiskoi ravniny: ot mikoka do epigravetta*. M.: "IA RAN" Publ., 79–80 (in Russian).
- Zakharikov A. P. 2020. Uchenicheskie izdeliia v kompleksakh niznikh sloev stoiarki Nepriakhino. *PAJIS (Pervobytnaia arkheologiya. Zhurnal mezhdistsiplinarnykh issledovaniy)* 1, 123–134 (in Russian).